



รายการอ้างอิง

1. Volker Braschel, Neuwied, "Method of Controlling the Brake Pressure in an Antilock Vehicle Brake System". U.S. Patent Number 5033799 Jul, 1991.
2. J.L. Harned, L.E. Johnston, and G. Scharpf, "Measurement of Tire Brake Force Characteristics as related to Wheel Slip (Antilock) Control System Design", SAE Paper 690214, 1986.
3. Masao Watanabe, Noboru Noguchi, "New Algorithm for ABS to Compensate for Road - Disturbance", SAE Transactions v. 99, n. Sect 6, p.271 - 279, 1990.
4. Satohiko Yoneda, Yasuo Naitoh, and Hideo Kigoshi, "Rear Brake Lock-up Control System of Mitsubishi Starion", SAE Paper 830482, 1983.
5. Rhee S.K. , "Friction Coefficient of Automotive Friction Materials -Its Sensitivity to Load . Speed and Temperature", SAE Paper 740415, 1974.
6. John G. Bollinger, Neil A. Duffie, "Computer Control of Machines and Processes", Addison - Wesley, 1988.
7. William J. Palm "Control System Engineerings", John Wiley & Sons, 1986.
8. Stephen C. Gates, Jordan Becker, "Laboratory Automation Using The IBM PC", Prentice-Hall Inc., 1989.
9. Beckwith T. G., Lewis Buck N. "Mechanical Measurements", Addison-Wesley Inc., 1969.

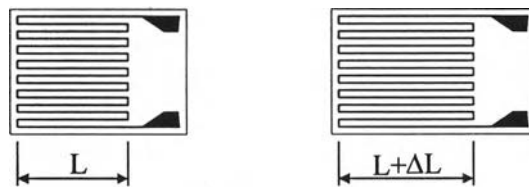
ภาคผนวก ก.

ทรานสดิวเซอร์ความดัน

มีชิ้นส่วนยืดหยุ่นหลายชนิด อาจใช้ในการวัดความดันได้ แต่อุปกรณ์ส่วนใหญ่ที่ใช้กันอยู่จะเป็นท่อบูร์ดอง (bourdon) , ไดอะแฟรม (diaphragm) หรือเบลโลว์ (bellow) เป็นส่วนที่ไวต่อความดัน การยุบหรือยืดตัวของชิ้นส่วนเหล่านี้ อาจใช้ขับเข็มชี้โดยตรง หรือผ่านระบบลิ้งเกจ และเฟือง หรือ การเคลื่อนที่ อาจเปลี่ยนเป็นสัญญาณทางไฟฟ้าโดยวิธีใดวิธีหนึ่ง บางครั้งก็ใช้สเตรนเกจติดโดยตรงกับไดอะแฟรม

สเตรนเกจ (strain gage)

ในการทำโครงการวิทยานิพนธ์นี้ จะใช้สเตรนเกจเป็นตัวตรวจวัดการยืดหดของไดอะแฟรมของอุปกรณ์วัดความดัน (ทรานสดิวเซอร์ความดัน) ที่เราได้สร้างขึ้น โดยตัวสเตรนเกจนั้นจะทำการติดตั้งที่ไดอะแฟรมบริเวณที่จะเกิดการเปลี่ยนแปลงด้านความเครียดมากที่สุด สำหรับความเครียดที่เกิดขึ้นที่สเตรนเกจนี้ โดยพื้นฐานแล้ว เมื่อเกิดความเครียดจะทำให้ความต้านทานในตัวสเตรนเกจมีค่าเปลี่ยนไป



รูปที่ ก.1 สเตรนเกจ

$$\frac{\Delta R/R}{\Delta L/L} = GF \quad (ก.1)$$

และ

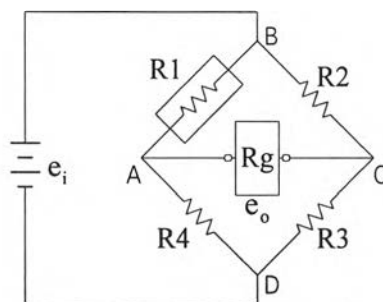
$$\epsilon = \frac{\Delta L}{L} = \frac{\Delta R}{R \cdot GF} \quad (ก.2)$$

และ
$$\Delta R = GF \cdot R \cdot \frac{\Delta L}{L} \quad (ก.3)$$

และ
$$\frac{\Delta R}{R} = GF \cdot \varepsilon \quad (ก.4)$$

- เมื่อ GF = เกจแฟคเตอร์ (gauge factor)
 ε = ค่าความเครียด
 L = ความยาวเดิมของฟอยล์ที่ตัวสเตรนเกจ
 ΔL = ความยาวที่เปลี่ยนแปลง
 R = ความต้านทานของตัวสเตรนเกจ
 ΔR = ความต้านทานที่เปลี่ยนแปลง

วงจรวีทสโตนบริดจ์ (wheatstone bridge circuit)



รูปที่ ก.2 วงจรวีทสโตนบริดจ์พื้นฐาน

สำหรับค่าความต้านทานที่เปลี่ยนแปลง ΔR นั้นจะมีค่าน้อย ทำให้ไม่สามารถทำการวัดได้โดยตรง วิธีการที่นิยมใช้และทำให้เราสามารถวัดค่าการเปลี่ยนแปลงความต้านทานนี้ได้เราจะต้องทำการติดตั้งสเตรนเกจเป็นส่วนหนึ่งของวงจรไฟฟ้าที่เรียกว่าวงจรวีทสโตนบริดจ์ (wheatstone bridge circuit) ซึ่งจะช่วยในการแปลงค่าการเปลี่ยนแปลงของความต้านทานที่มีค่าน้อยมากนี้ให้สามารถวัดได้ในรูปของค่าความต่างศักย์ไฟฟ้าตามรูปที่ ก.2

ความต่างศักย์ไฟฟ้าออก (เอาต์พุต) e_o จะมีค่าความสัมพันธ์เป็นสัดส่วนตรงกับ ความเครียดที่เกิดขึ้น และถ้าในสภาวะเริ่มต้นความต่างศักย์ไฟฟ้าเป็นศูนย์ ต่อมาเกิดมี การเปลี่ยนแปลงความต้านทานขึ้นในวงจรก็จะเป็นสมดุลง่ายและมีความต่างศักย์ไฟฟ้า เกิดขึ้น เมื่อเราทำการใส่ความดันที่รู้ค่าต่อระบบ เราจะสามารถทำการปรับเทียบ (calibrated) เพื่อหาคุณสมบัติของระบบ ที่แสดงความสัมพันธ์ระหว่างความดันกับความ ต่างศักย์ไฟฟ้าออก e_o ได้

โดยวิธีการเดียวกันและถ้าความต้านทานทั้ง 4 ตัว ในวงจรบริดจ์สามารถเปลี่ยนแปลงความต้านทานได้ เนื่องจากใส่ความดันเข้าระบบ เราจะได้ค่าสัญญาณความต่าง ศักย์ออก e_o ที่สัมพันธ์กับค่าความต้านทานทั้งหมดที่เปลี่ยนแปลงไปดังนี้

$$e_o = \frac{e_i R_g}{4(R + R_g)} \left(\frac{\Delta R_1}{R_1} - \frac{\Delta R_2}{R_2} + \frac{\Delta R_3}{R_3} - \frac{\Delta R_4}{R_4} \right) \quad (ก.5)$$

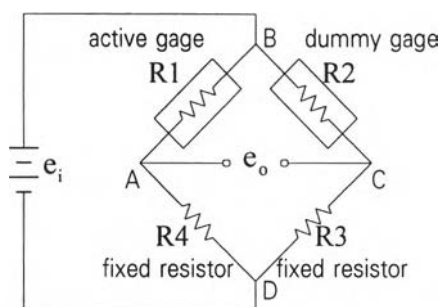
เมื่อ e_o = ค่าความต่างศักย์ไฟฟ้าออกของวงจรวีทสโตนบริดจ์

e_i = ค่าความต่างศักย์ไฟฟ้าเข้าของวงจรวีทสโตนบริดจ์

R_g = ความต้านทานกัลวานิเมตร หรือ ความต้านทานทางออก

การชดเชยอุณหภูมิ

อุณหภูมิเป็นสัญญาณรบกวนตัวสำคัญ ในการใช้สเตรนเกจวัดความเครียด เนื่องจากความต้านทานของสเตรนเกจ เปลี่ยนไปตามความเครียดและอุณหภูมิ การเปลี่ยนแปลงความต้านทาน เนื่องจากความเครียดมีค่าน้อย ดังนั้นผลของอุณหภูมิอาจ ทำให้การวัดไม่ได้ผล ความไวต่ออุณหภูมิอาจมีผลมาจากการขยายตัวที่แตกต่างกันกับ อุณหภูมิของวัสดุที่เป็นตัวอย่าง และวัสดุที่ทำเกจ ซึ่งอาจทำให้เกิดความต้านทาน เปลี่ยนแปลงเนื่องจากความเครียด ถึงแม้ว่าวัสดุจะไม่รับแรงเลยก็ตาม ผลของอุณหภูมินี้ สามารถจะลบล้างออกด้วยการติดสเตรนเกจไว้ที่บริเวณไม่มีความเครียดไว้ใกล้กับสเตรนเกจที่ใช้งาน เพื่อให้เป็นอุณหภูมิเดียวกัน สเตรนเกจที่ไม่ได้ใช้งาน (dummy gage) นี้ จะต่อกับวงจรวีทสโตนบริดจ์ ดังแสดงในรูป ก.3



รูปที่ ก.3 วิธีชดเชยอุณหภูมิในการวัดความเครียด

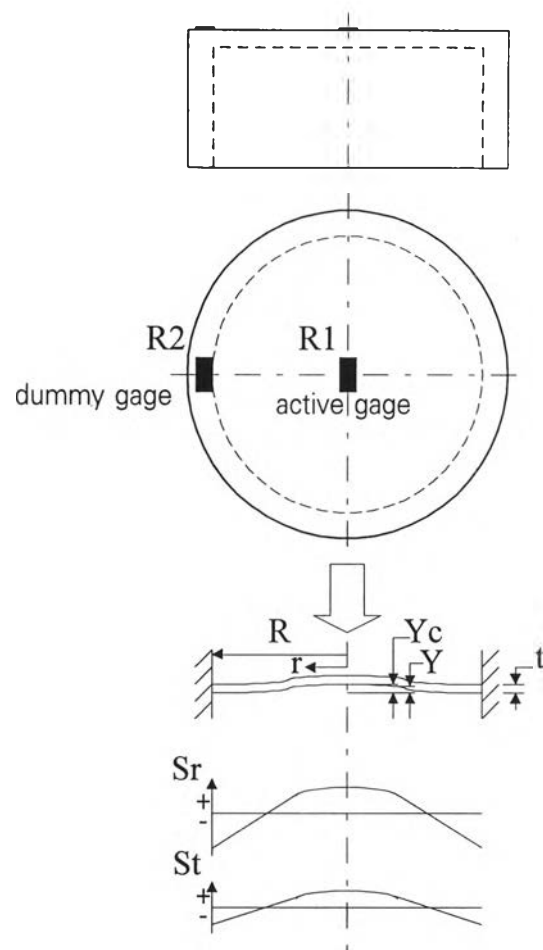
ทรานสดิวเซอร์ความดัน (pressure transducer)

ทรานสดิวเซอร์ความดันใช้สเตรนเกจ จะทำการติดสเตรนเกจโดยตรงกึ่งกลางไดอะแฟรม ไดอะแฟรมมีความไม่เป็นเชิงเส้นเมื่อมีระยะยุบตัวมาก เมื่อการยืดตัวมีผลต่อการดัดธรรมดา ทำให้ไดอะแฟรมกระด้างขึ้น ความไม่เป็นเชิงเส้นของความเค้นนี้ใกล้เคียงกับความไม่เป็นเชิงเส้นของระยะยุบตัวที่จุดศูนย์กลาง และสามารถเขียนเป็นสมการดังนี้

$$P = \frac{16E \cdot t^4}{3R^4(1-\nu^2)} \left(\frac{Y_c}{t} + 0.488 \left(\frac{Y_c}{t} \right)^3 \right) \quad (\text{ก.6})$$

เมื่อ	P	= ความดันแตกต่างบนสองข้างของไดอะแฟรม
	E	= ค่ามอดูลัสการยืดของไดอะแฟรม
	t	= ความหนาของไดอะแฟรม
		= อัตราส่วนพอยซอน
	R	= รัศมีของไดอะแฟรมที่จุดยึดที่ชอบ
	Yc	= ระยะยุบตัวที่จุดศูนย์กลางของไดอะแฟรม

ถ้าออกแบบ Y_c/t น้อยพอ ก็อาจมีความเป็นเชิงเส้นได้ แต่ค่า Y_c/t น้อย จะทำให้ความเครียดน้อยและความต่างศักย์ไฟฟ้าออก e_o ก็จะมีน้อยไปด้วย



รูปที่ ก.4 ทหรานสดิวเซอร์ความดันและตำแหน่งติดตั้งสเตรนเกจ

ไดอะแฟรมที่ถูกความดันกระทำจะเกิดเปล่งตัวออกหรือยืดตัว จะมีความเค้นทางด้านความดันต่ำในทางรัศมี S_r และความดันแทนเงินท์ S_t เกิดขึ้น ดังสมการ ก.7 และ ก.8

$$S_r = \frac{3P \cdot R^2 v}{8t^2} \left(\left(\frac{1}{v} + 1 \right) - \left(\frac{3}{v} + 1 \right) \left(\frac{r}{R} \right)^2 \right) \quad (\text{ก.7})$$

$$S_t = \frac{3P \cdot R^2 v}{8t^2} \left(\left(\frac{1}{v} + 1 \right) - \left(\frac{1}{v} + 3 \right) \left(\frac{r}{R} \right)^2 \right) \quad (\text{ก.8})$$

เมื่อ r = รัศมีของไดอะแฟรมที่จุดใด ๆ

และสมการระยะยุบตัวของไดอะแฟรม ดังสมการที่ ก.9

$$Y = \frac{3P(1-\nu^2)(R^2 - r^2)^2}{16E.t^3} \quad (\text{ก.9})$$

เมื่อ Y = ระยะยุบตัวที่จุดใด ๆ ของไดอะแฟรม

เราจะใช้สมการ ก.7 และ ก.8 โดยตรงไม่ได้เพราะผิวของไดอะแฟรมอยู่ในความเค้นสองแกน คือในทั้งทางแทนเจนต์และทางรัศมี การเกี่ยวเนื่องของความเค้นสองแกน ให้สมการดังนี้

$$\varepsilon_r = \frac{S_r - \nu.S_t}{E} \quad (\text{ก.10})$$

$$\varepsilon_t = \frac{S_t - \nu.S_r}{E} \quad (\text{ก.11})$$

ในการติดสเตรนเกจ R1 (active gage) ไว้ที่จุดกึ่งกลางของไดอะแฟรม เพื่อวัดความเครียดทางแทนเจนต์เพราะความเครียดที่จุดนี้สูงสุด และติดสเตรนเกจ R2 (dummy gage) เพื่อเป็นการชดเชยอุณหภูมิ ไว้ที่ขอบนอกไดอะแฟรม เพื่อให้เป็นอุณหภูมิเดียวกัน สมการความเครียดทางแทนเจนต์ที่จุดกึ่งกลาง ใช้สมการ ก.7 , ก.8 , ก.10 และ ก.11 จะได้

$$\varepsilon_t = \frac{3P.R^2}{8t^2E}(1-\nu^2) \quad (\text{ก.12})$$

จากการติดตั้งสเตรนเกจไว้ที่จุดกึ่งกลางไดอะแฟรมเพียงตัวเดียว เมื่อทำการแทนลงในสมการ ก.5 โดยให้ค่าความต้านทาน R_g มีค่าเข้าใกล้อนันต์ ด้วยการหาค่าลิมิตของ e_0

$$e_o = \lim_{(R_g \rightarrow \alpha)} e_o = \frac{E\Delta R}{4R}$$

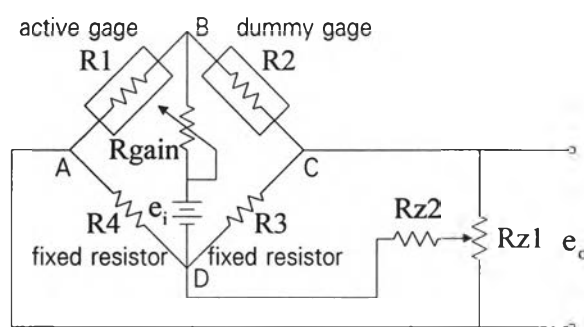
$$e_o = \frac{E \cdot GF \cdot \varepsilon}{4} \quad (ก.13)$$

การออกแบบทรานสดิวเซอร์ความดัน

สเตรนเกจที่ใช้ รุ่น B-FAE-5-12 ความยาวเกจ (gage length) 5 มม. ความต้านทาน 120 ± 0.2 โอห์ม เกจแฟคเตอร์ 2.1

ไดอะแฟรมที่ใช้เป็นทองเหลือง มีขนาดเส้นผ่าศูนย์กลาง 15 มม. จะมีค่ามอดูลัสความหยุ่น $E = 106.0$ Gpa , อัตราพอยซอน $\nu = 0.324$, ความหนาแน่น $\rho = 8.55$ Mg/m³ ความดันใช้งานที่ 20 บาร์ แต่ใช้ความปลอดภัยเท่ากับ 2 จึงใช้ความดันที่ 40 บาร์ ในการออกแบบ ค่าความเครียดที่ 1,000 ไมโครสเตรน $\mu\varepsilon$ เมื่อทำการคำนวณใช้สมการ ก.12 จะได้ความหนา $t = 0.844$ มม. หรือประมาณ 0.9 มม.

ชุดวงจรบริดจ์ที่ใช้กับทรานสดิวเซอร์ความดัน



รูปที่ ก.5 วงจรบริดจ์ที่ใช้กับทรานสดิวเซอร์ความดัน

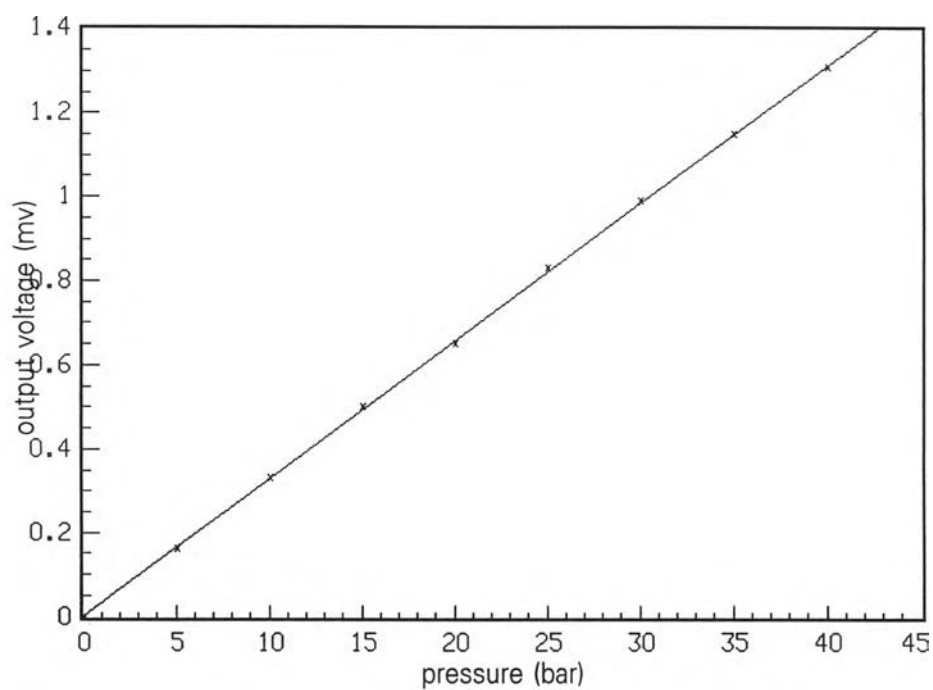
รายการอุปกรณ์

R1 , R2	สเตรนเกจ ความต้านทาน 120Ω เกจแฟคเตอร์ 2.1
R3 , R4	ความต้านทาน 120Ω
Rz1	ความต้านทานปรับค่าได้ $50 K\Omega$

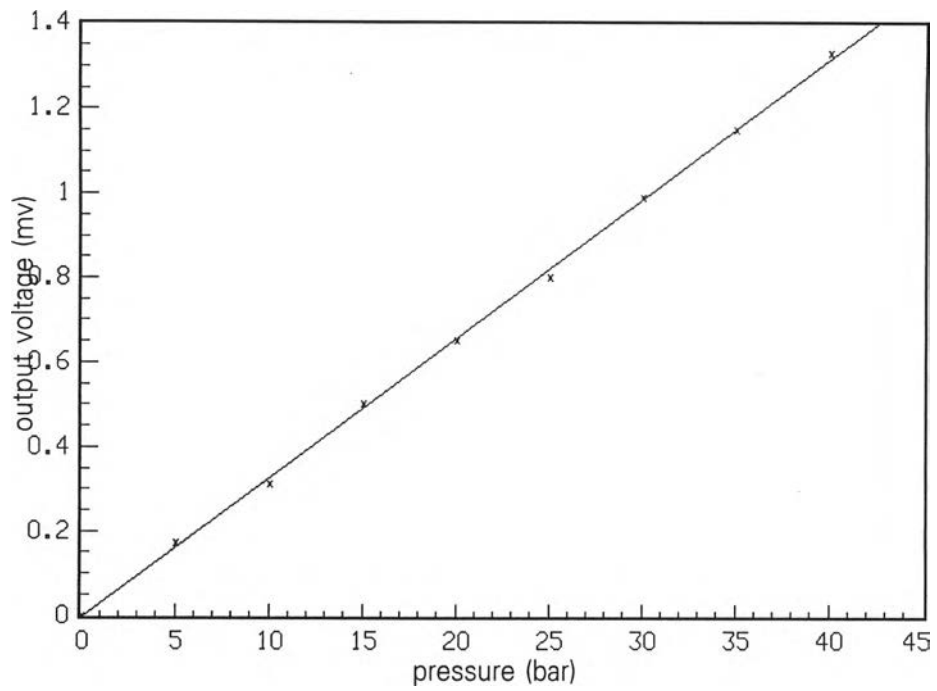
Rz2	ความต้านทาน 12 K Ω
Rgain	ความต้านทานปรับค่าได้
e _i	ความต่างศักย์เข้า 15 โวลต์

การปรับเทียบค่า

จากรูปที่ ก.6 และ ก.7 จะแสดงกราฟของความสัมพันธ์ระหว่างความดันกับความต่างศักย์ไฟฟ้าออก (วิธีการกำลังสองน้อยที่สุด) สำหรับทรานสดิวเซอร์ความดัน1 และทรานสดิวเซอร์ความดัน2



รูปที่ ก.6 แสดงความสัมพันธ์ระหว่างความดันกับความต่างศักย์ไฟฟ้าออก
ของทรานสดิวเซอร์ความดัน1



รูปที่ ก.7 แสดงความสัมพันธ์ระหว่างความดันกับความต่างศักย์ไฟฟ้าออก
ของทรานสดิวเซอร์ความดัน2

ภาคผนวก ข.

การออกแบบตัวกระตุ้นแบบโซลินอยด์

จากการทดลองสร้างความดันโดยแม่ปั๊มห้ามล้อแบบจำลอง ความดันที่สามารถสร้างได้สูงสุดประมาณ 40 บาร์ และความดันที่ใช้ปกติ 10 - 20 บาร์ ความดันที่ใช้ในการออกแบบตัวกระตุ้นแบบโซลินอยด์ 20 บาร์ เลือกขนาดเส้นผ่านศูนย์กลางภายในของลูกสูบเคลื่อนที่ (plunger) ให้มีขนาด 30 มม. เพื่อสวมกับลูกสูบอยู่กับที่ (fixed piston) แรงที่ลูกสูบเคลื่อนที่ที่ต้องสร้าง 1413.7 N. โดยใช้กระแสสูงสุดในการออกแบบ 10 แอมป์

ให้พิจารณาจากรูป 3.4 จะมีค่าพารามิเตอร์ดังนี้

$$G = 0.005 \text{ m.}$$

$$x = 0.0 \text{ m.}$$

$$\mu_0 = 4\pi \times 10^{-7} \text{ H/m}$$

$$a' = 0.0205 \text{ m.}$$

$$b' = 0.001 \text{ m.}$$

$$l' = 0.01 \text{ m.}$$

$$r_1' = 0.015 \text{ m.}$$

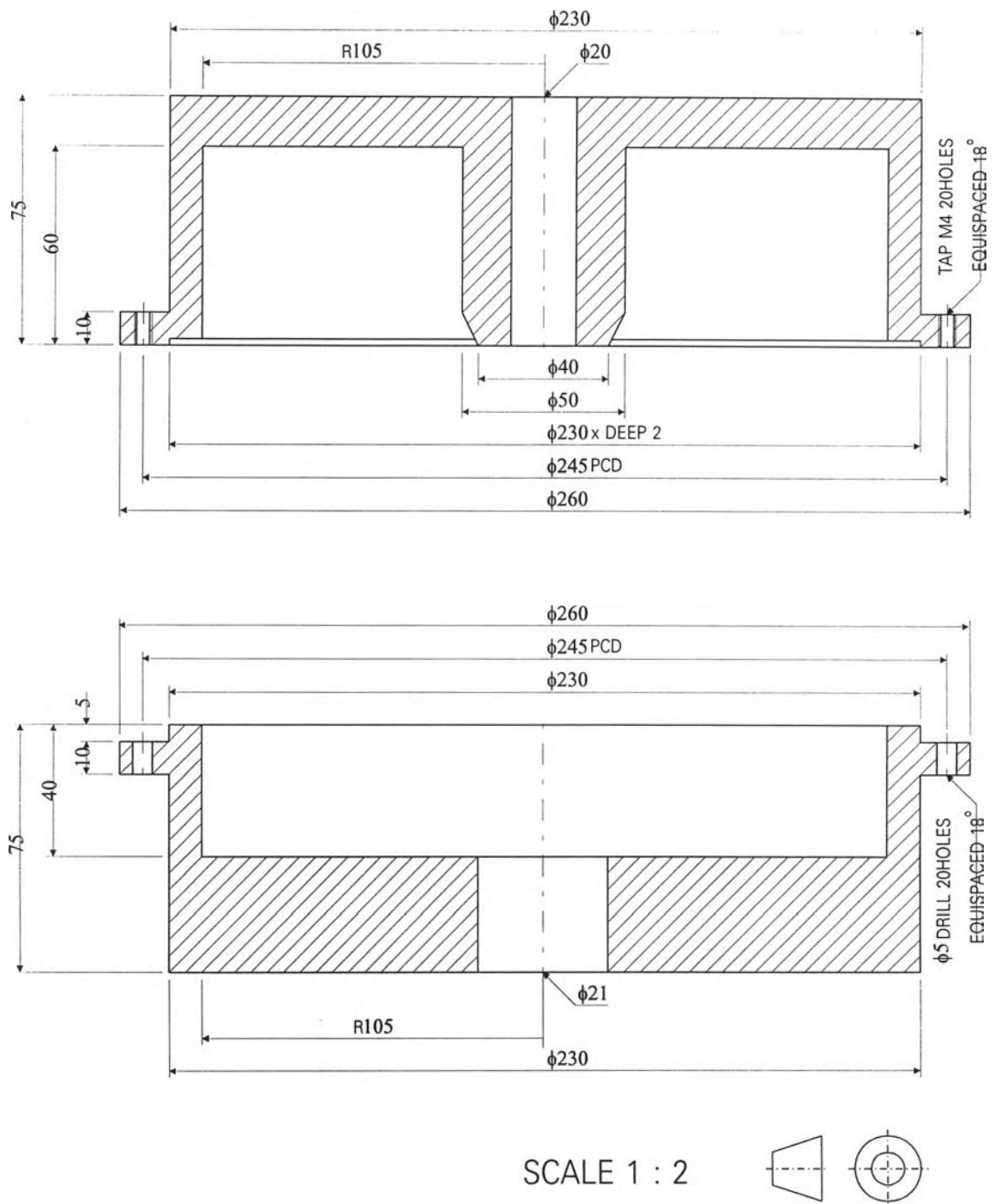
$$r_2' = 0.02 \text{ m.}$$

โดยแทนลงในพารามิเตอร์ที่สมการ 3.21 จะได้

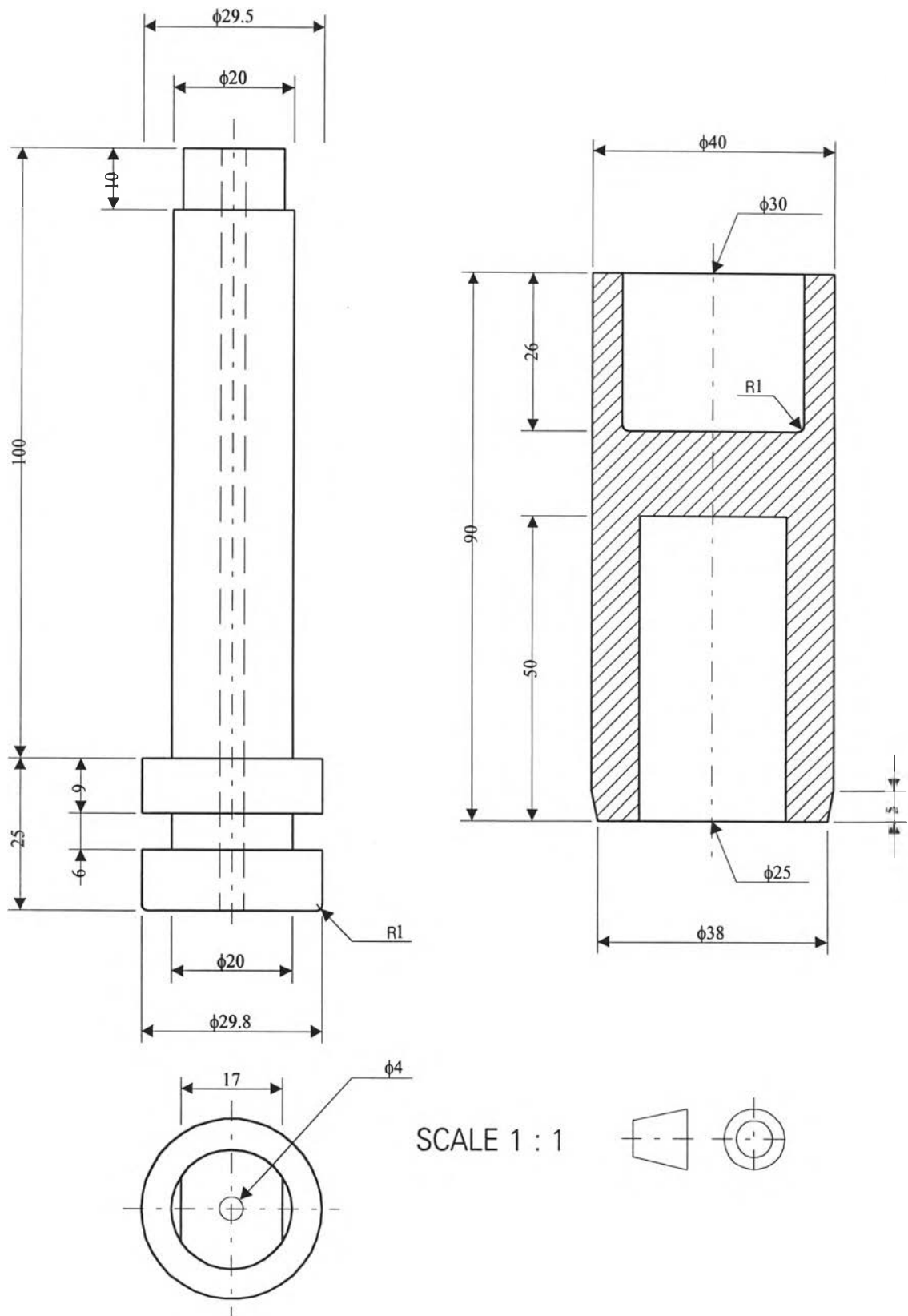
$$K_1' = 2.832576463 \times 10^{-13}$$

$$K_2' = 4.1 \times 10^{-4}$$

$$K_3' = 1.75 \times 10^{-7}$$



รูปที่ ข.1 แบบภาพฉายละเอียด กระจกบอกลี้นบนและกระจกบอกลี้นล่าง
ของตัวกระตุ้นแบบซิลินอยด์



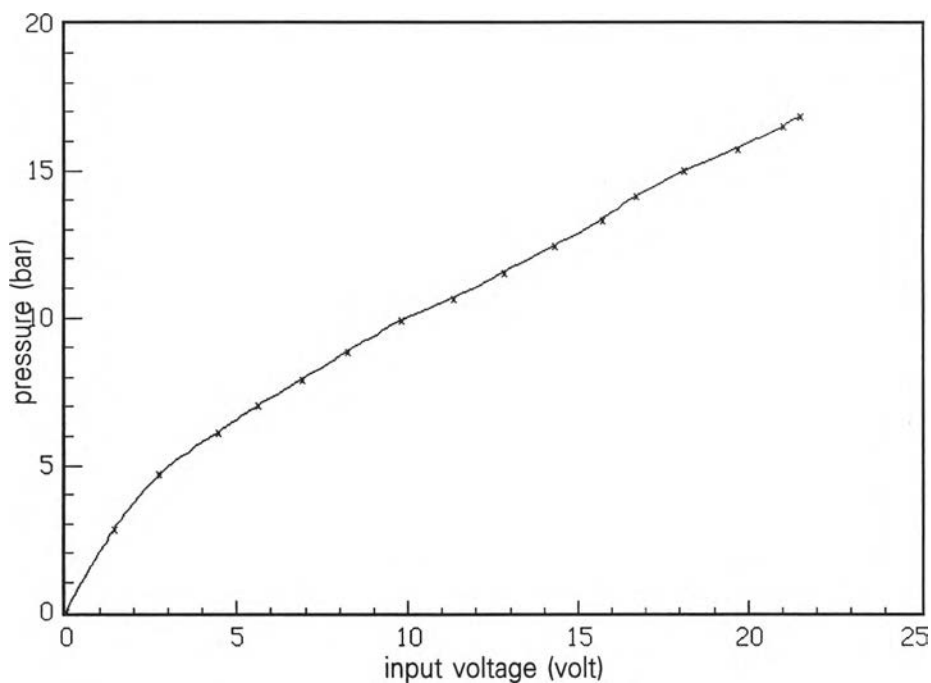
รูปที่ ข.2 แบบภาพรายละเอียด ลูกสูบอยู่กับที่และลูกสูบเคลื่อนที่
ของตัวกระตุ้นแบบโซลินอยด์

จากสมการ 3.22 เป็นสมการแรงของลูกสูบเคลื่อนที่ เพื่อหาจำนวนรอบของขดลวดที่ใช้พันคอยล์ $N = 1097.8$ รอบ และใช้ค่าแฟคเตอร์ 1.1 ฉะนั้นจะได้จำนวนรอบ 1220 รอบ ใช้ขนาดขดลวด 14 SWG มีเส้นผ่านศูนย์กลางโต 2.032 มม.

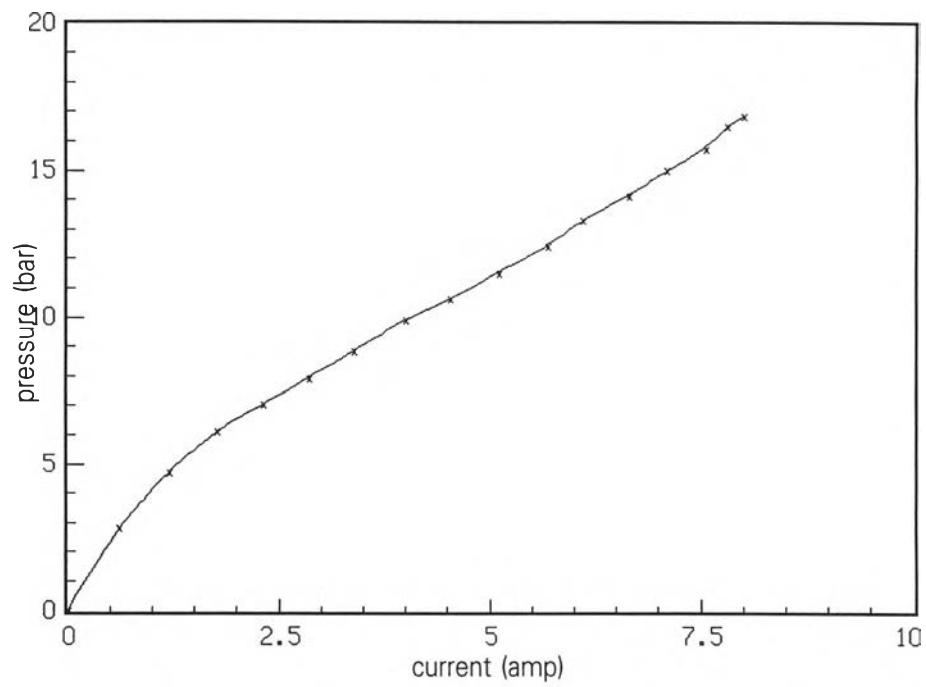
แบบภาพรายละเอียดของตัวกระตุ้นแบบโซลินอยด์ ดังแสดงในรูปที่ ข.1 , ข.2 และเมื่อทำการทดสอบการทำงานที่ภาวะเต็มที่สามารถสร้างความดันที่ 16.8 บาร์ กระแสสูงสุด 8.0 แอมแปร์ ที่ 21.5 โวลต์ ความสิ้นเปลืองกำลังพลังงาน 172 วัตต์

การปรับเทียบค่า

จากรูปที่ ข.3 จะแสดงกราฟของความสัมพันธ์ระหว่างความต่างศักย์ไฟฟ้ากับความดัน และ ข.4 จะแสดงกราฟของความสัมพันธ์ระหว่างกระแสไฟฟ้ากับความดัน



รูปที่ ข.3 ความสัมพันธ์ระหว่างความต่างศักย์ไฟฟ้ากับความดัน
ของตัวกระตุ้นแบบโซลินอยด์

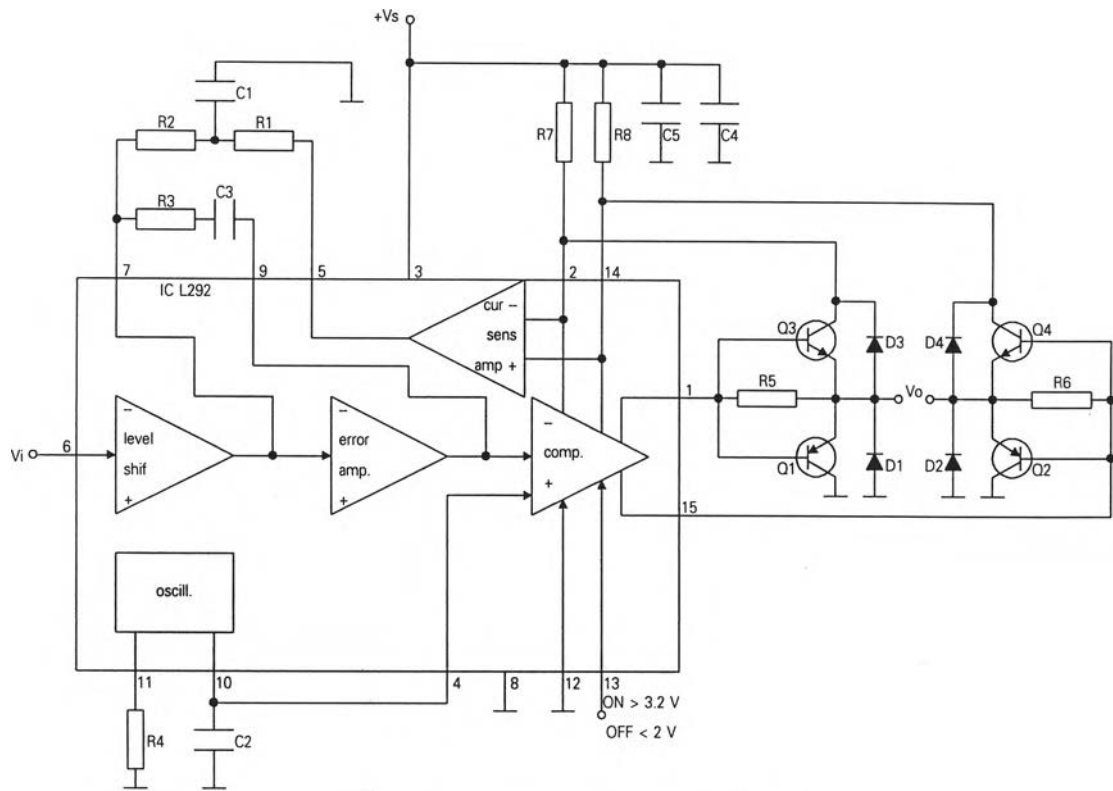


รูปที่ ข.4 ความสัมพันธ์ระหว่างกระแสไฟฟ้ากับความดัน
ของตัวกระตุ้นแบบโซลินอยด์

ภาคผนวก ค.

เพาเวอร์แอมพลิไฟเออร์

เพาเวอร์แอมพลิไฟเออร์เป็นชุดขับตัวกระตุ้นแบบโซลินอยด์และลิ้นเข็มเซอร์โว จะใช้ด้วยกัน 2 ชุด



รูปที่ ค.1 วงจรเพาเวอร์แอมพลิไฟเออร์

รายการอุปกรณ์

$$R1, R2 = 470 \quad \Omega$$

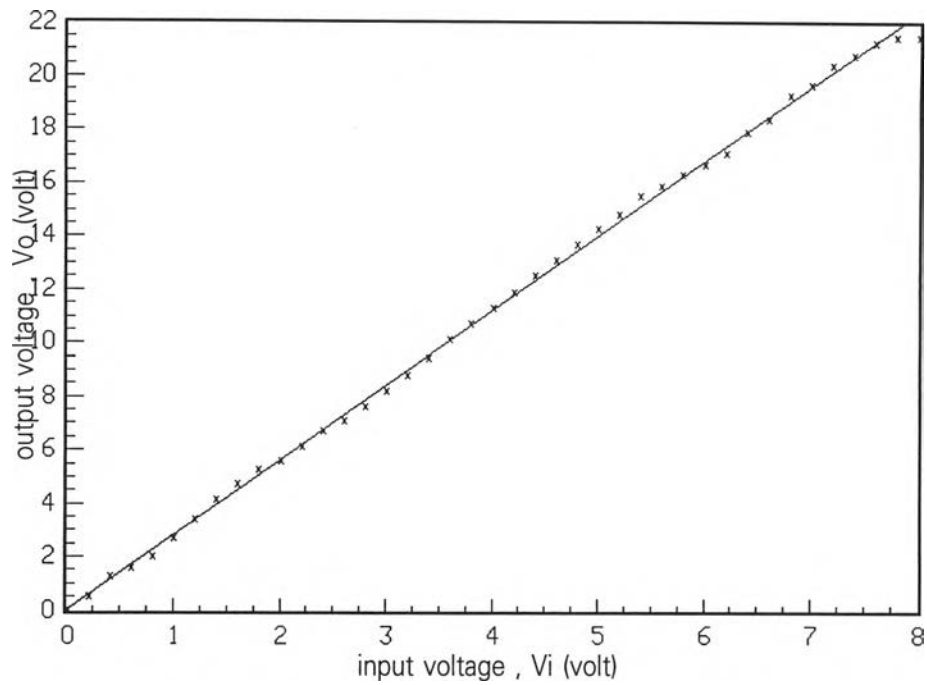
$$R3 = 3.3 \quad M\Omega$$

$$R4 = 15 \quad K\Omega$$

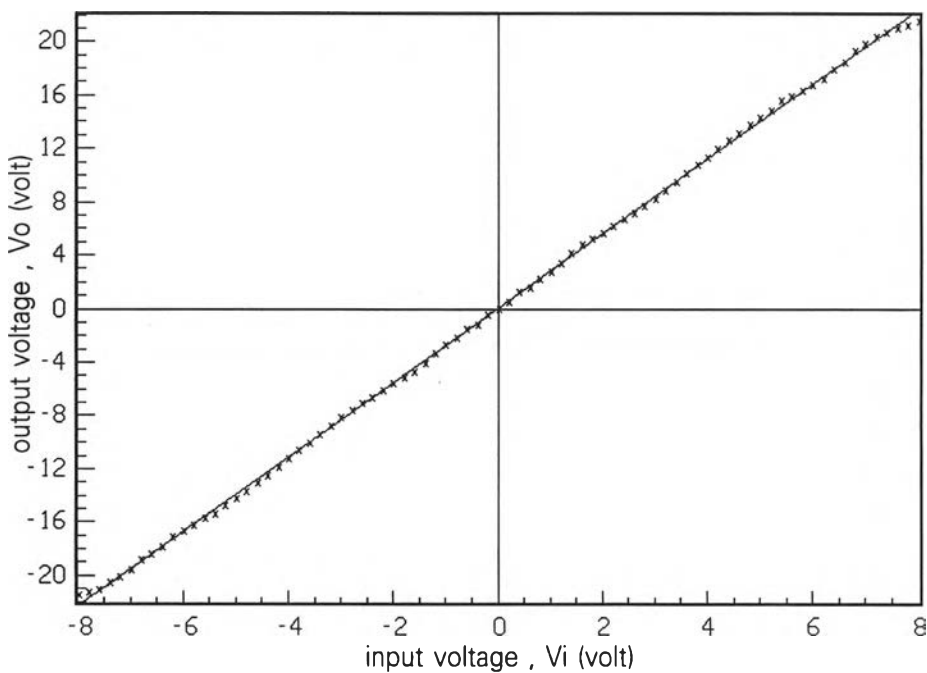
R5,R6 =	10	Ω
R7,R8 =	0.03	Ω
C1 =	47	ηF
C2 =	1.5	ηF
C3 =	10	ηF
C4 =	0.22	μF
C5 =	470	μF
D1,D2 =	6 A	Fast diodes
D3,D4 =	6 A	Fast diodes
Q1,Q2 =	BDW 52 A	
Q3,Q4 =	BDW 51 A	
IC L292		

การปรับเทียบค่า

จากรูปที่ ค.2 จะแสดงกราฟของความสัมพันธ์ระหว่างความต่างศักย์ไฟฟ้าเข้ากับความต่างศักย์ไฟฟ้าออกของชุดเพาเวอร์แอมพลิไฟเออร์สำหรับขับตัวกระตุ้นแบบโซลินอยด์ และ ค.3 จะแสดงกราฟของความสัมพันธ์ระหว่างความต่างศักย์ไฟฟ้าเข้ากับความต่างศักย์ไฟฟ้าออกของชุดเพาเวอร์แอมพลิไฟเออร์สำหรับขับลิ้นเข็มเซอร์โว (วิธีการกำลังสองน้อยที่สุด)



รูปที่ ค.2 แสดงความสัมพันธ์ระหว่างความต่างศักย์ไฟฟ้าเข้ากับความต่างศักย์ไฟฟ้าออกของชุดเพาเวอร์แอมพลิไฟเออร์สำหรับขั้วต่อกระตุ้นแบบโซลินอยด์

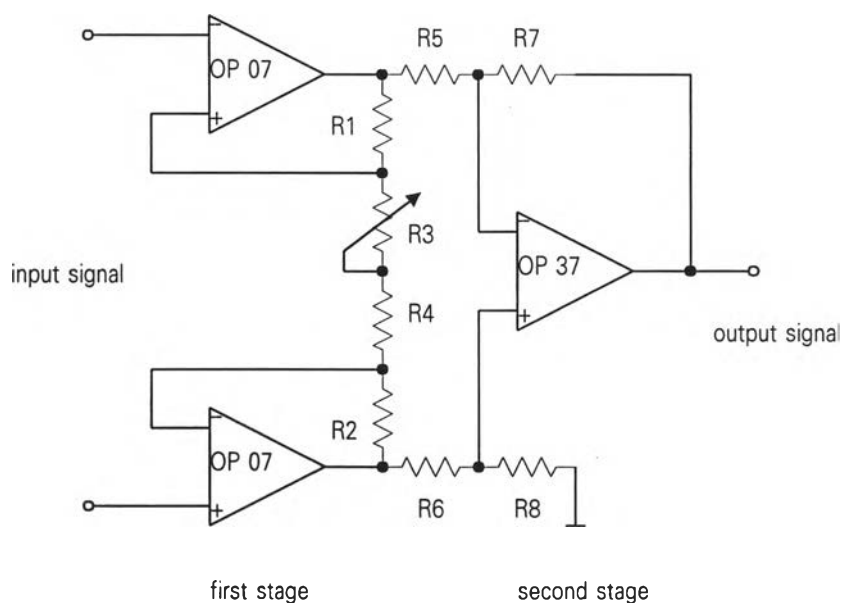


รูปที่ ค.3 แสดงความสัมพันธ์ระหว่างความต่างศักย์ไฟฟ้าเข้ากับความต่างศักย์ไฟฟ้าออกของชุดเพาเวอร์แอมพลิไฟเออร์สำหรับขั้วลิ้นเข็มเซอร์โว

ภาคผนวก ง.

ชุดขยายสัญญาณแบบอินสตรูเมน แอมป์ไฟเออร์

ชุดขยายสัญญาณแบบอินสตรูเมน แอมป์ไฟเออร์เป็นอุปกรณ์ขยายสัญญาณของทรานสดิวเซอร์ความดัน ทำการขยายสัญญาณประมาณ 5710 เท่า จัดทำ 2 ชุด second stage จะมีอัตราขยายเท่ากับ 200 และ first stage สามารถปรับอัตราขยายได้ อยู่ในช่วง 17.67 - 101 ฉะนั้นจะมีอัตราขยายรวม 3533.33 - 20200



รูปที่ ง.1 วงจรชุดขยายสัญญาณแบบอินสตรูเมน แอมป์ไฟเออร์

รายการอุปกรณ์

R1,R2	=	10	K Ω
R3 (trim)	=	1	K Ω
R4	=	200	Ω
R5,R6	=	500	Ω

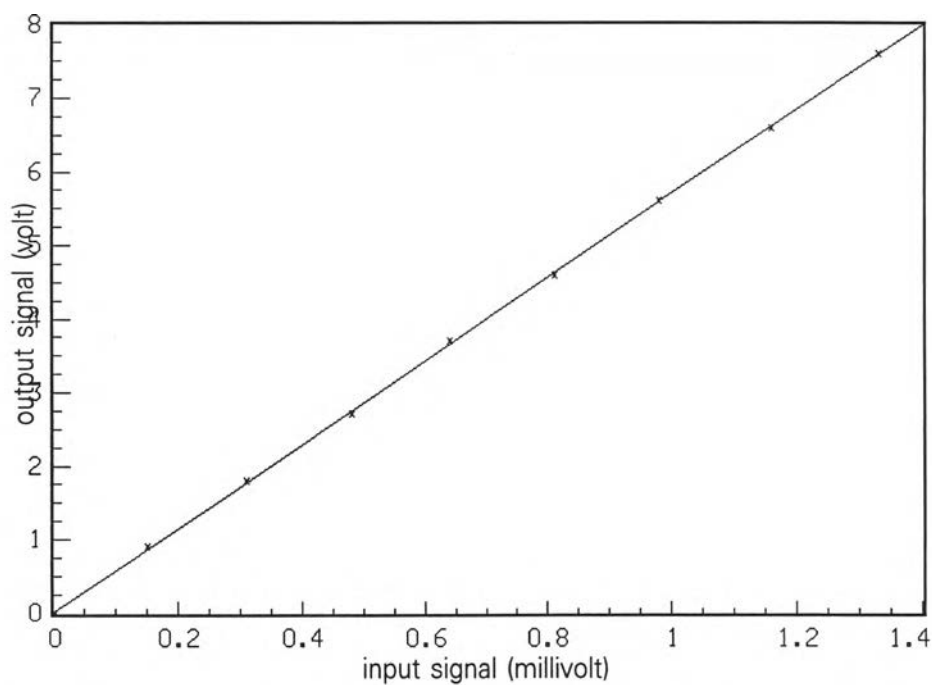
R7,R8 = 100 K Ω

IC OP 07

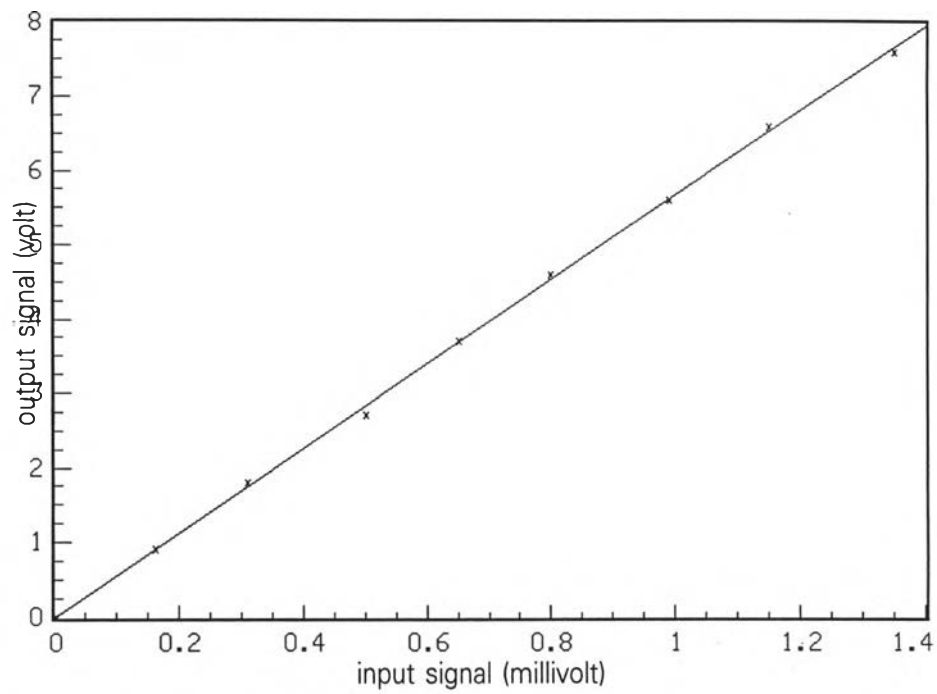
IC OP 37

การเปรียบเทียบค่า

จากรูปที่ ง.2 จะแสดงกราฟของความสัมพันธ์ระหว่างสัญญาณไฟฟ้าเข้ากับสัญญาณไฟฟ้าออกของชุดขยายสัญญาณแบบอินสตรูเมนแอมพลิไฟเออร์สำหรับทรานสดิวเซอร์ความดัน1 และ ง.3 จะแสดงกราฟของความสัมพันธ์ระหว่างสัญญาณไฟฟ้าเข้ากับสัญญาณไฟฟ้าออกของชุดขยายสัญญาณแบบอินสตรูเมนแอมพลิไฟเออร์สำหรับทรานสดิวเซอร์ความดัน2 (วิธีการกำลังสองน้อยที่สุด)



รูปที่ ง.2 แสดงความสัมพันธ์ระหว่างสัญญาณไฟฟ้าเข้ากับสัญญาณไฟฟ้าออกของชุดขยายสัญญาณแบบอินสตรูเมนแอมพลิไฟเออร์สำหรับทรานสดิวเซอร์ความดัน1

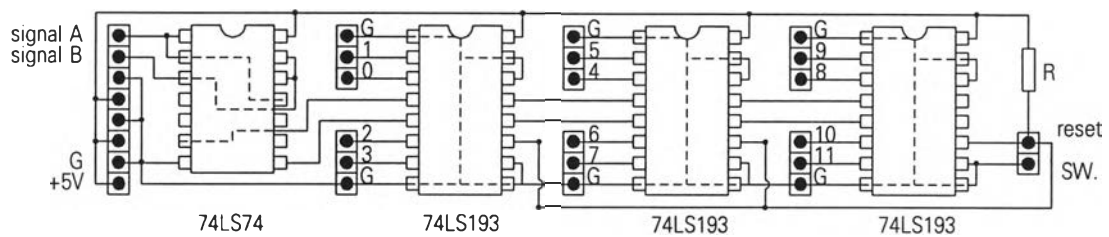


รูปที่ ง.3 แสดงความสัมพันธ์ระหว่างสัญญาณไฟฟ้าเข้ากับสัญญาณไฟฟ้าออก
ของชุดขยายสัญญาณแบบอินสตรูเมนแอมพลิไฟเออร์สำหรับทรานสดิวเซอร์ความดัน 2

ภาคผนวก จ.

ชุดดีโคดเดอร์

ชุดดีโคดเดอร์เป็นชุดแปลงสัญญาณของชุดตรวจจับความเร็วรอบของล้อรถยนต์ทั้งสอง และลิ้นเข็มเซอร์โว ออกแบบเป็น 12 บิต จัดสร้าง 3 ชุด



รูปที่ จ.1 วงจรชุดดีโคดเดอร์

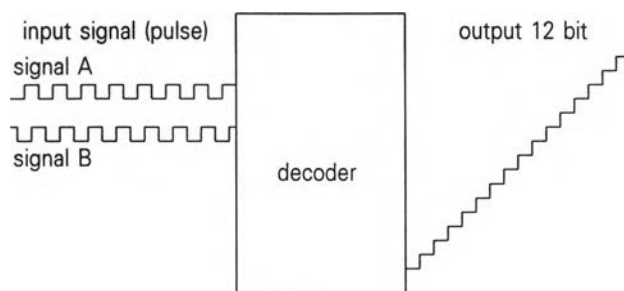
รายการอุปกรณ์

$$R = 3.6 \text{ K}\Omega$$

IC 74 LS 74

IC 74 LS 193

สัญญาณเข้าและสัญญาณออก



รูปที่ จ.2 แสดงสัญญาณเข้าและสัญญาณออกสำหรับชุดดีโคดเดอร์

ภาคผนวก จ.

การ์ดอินเตอร์เฟส

การ์ดอินเตอร์เฟส จะใช้ด้วยกัน 2 การ์ดคือ 8255 I/O CARD FPC-024 และ PC ADDA-14 CARD FPC-011

8255 I/O CARD FPC-024

The 8255 I/O card is a programmable input/output interface for PC or PC/XT. This card contains 48 I/O line , 3 independent 16 bit counters , each with a count rate of up to 2 MHz. All modes of operation are software programmable.

specifications

- 48 programmable I/O control line
- 3 independent 16 bit count
- 16 LED I/O display

I/O port address :

\$1b0 - \$1bf

PC ADDA-14 CARD FPC-011

The ADDA-14 card is an analog - digital / digital - analog high performance data conversion card for IBM PC XT/AT and compatible systems. The card operates with two fourteen bit resolution channels for digital to analog in either unipolar or bipolar operation depending on the switches (SW1 & SW2) settings and sixteen

channels with fourteen bit resolution for analog to digital data conversion also operating in either unipolar or bipolar operation.

specifications

A/D :

- 14 - bit resolution
- 16 input channels
- unipolar (0 - 8V) or bipolar (-8V to +8V) input levels
- < 42 μ s conversion time
- $\pm 1/2$ LSB relative accuracy at 25 $^{\circ}$ C
- 88 ppm/ $^{\circ}$ C temperature coefficient

D/A :

- 14 - bit resolution
- two channels for output
- unipolar (0 - 8V) or bipolar (-8V to +8V) output
- 0.5 μ s current setting time

I/O port address :

\$170 - \$17f



ภาคผนวก ช.

ผังโปรแกรมโครงสร้าง

สัญลักษณ์ของผังงาน

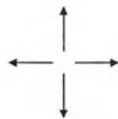
การกำหนดมาตรฐานของผังงานเพื่อสะดวกในการสื่อความหมายให้เข้าใจตรงกันและเป็นระบบสากล เรียกว่ามาตรฐานของ ANSI (The American National Standard Institute) สัญลักษณ์ที่ใช้แทนผังงานแบบต่าง ๆ แสดงไว้ดังนี้



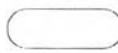
ใช้แสดงคำสั่งที่เกี่ยวกับอินพุตและเอาต์พุต



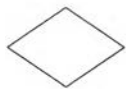
ใช้แสดงกิจกรรมประมวลผล เช่น คำนวณ



แสดงทิศทาง



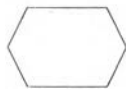
แสดงจุดเริ่มต้นหรือจุดสุดท้ายของกิจกรรม



แสดงการตัดสินใจ



แสดงการเชื่อมโยง



แสดงการเตรียมการ



แสดงหมายเหตุ



แสดงโปรแกรมย่อย

ลักษณะของโปรแกรมควบคุมการลื่นไถล

รายละเอียดของโปรแกรมควบคุมการลื่นไถลที่ได้ประดิษฐ์ขึ้นมา จะอธิบายโดยใช้ผังโปรแกรมโครงสร้าง จะมีด้วยกัน 44 หน้า ในแต่ละหน้า ที่ส่วนบนจะเป็นกรอบชื่อ จะมีชื่อโปรแกรมหลักหรือโปรแกรมน้อย , หมายเลขเรียกหน้า และหน้าที่ถูกอ้างอิงถึง เพื่อที่จะสามารถค้นหาได้สะดวก ส่วนด้านซ้ายของหน้าจะเป็นกรอบผังโปรแกรมโครงสร้าง ซึ่งใช้มาตรฐาน ANSI แสดงผังโปรแกรมโครงสร้าง และที่ตำแหน่งสัญลักษณ์แสดงหมายเหตุ จะชี้ถึงหน้าที่อ้างอิงถึง โดยสามารถพลิกไปที่หน้าดังกล่าวโดยดูจากกรอบชื่อ และส่วนด้านขวาของหน้าจะเป็นกรอบรายละเอียดของตัวโปรแกรมหลักหรือโปรแกรมน้อย แสดงด้วยภาษาปาสคาล

โปรแกรมควบคุมการลื่นไถล ประกอบด้วยโปรแกรมหลัก (main program) และ 43 โปรแกรมย่อย (procedures) ลักษณะขั้นตอนที่สำคัญของโปรแกรมควบคุมการลื่นไถลนี้ประกอบด้วย

1. โปรแกรมหลัก [slip_control] อ้างอิงถึง page 1 ในผังโปรแกรมโครงสร้าง

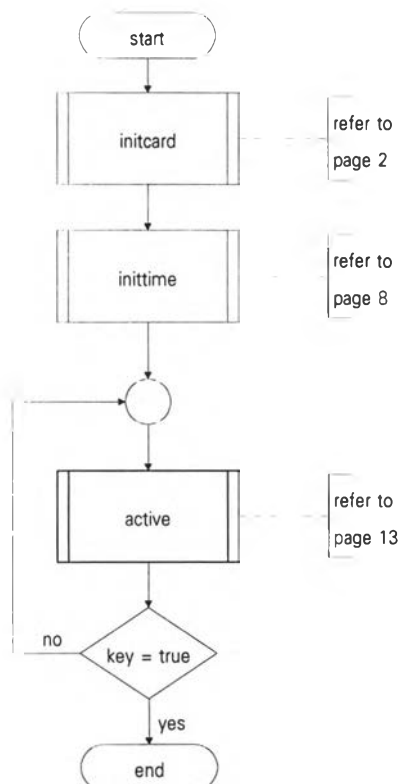
โปรแกรมหลักเริ่มจากการตั้งค่าเริ่มต้นของการ์ดอินเตอร์เฟซด้วยโปรแกรมน้อย [initcard] เพื่อให้การ์ดพร้อมที่จะทำงาน จากนั้นจะเริ่มตั้งค่าเริ่มต้นของเวลาด้วยโปรแกรมน้อย [inittime] เป็นเวลาสุ่ม ช่วงเวลาสุ่มที่ใช้คือ 0.002 วินาที และ 0.02 วินาที เมื่อพร้อมแล้วจะเข้าสู่โปรแกรมน้อย [active] จะกระทำซ้ำจนกว่าจะมีการกดคีย์ เพื่อยุติโปรแกรมควบคุมการลื่นไถล

2. โปรแกรมย่อย [active] อ้างอิงถึง page 1 , 13 ในผังโปรแกรมโครงสร้าง

เป็นขั้นตอนการควบคุมการทำงานของระบบ ABS เริ่มต้นโดยตั้งค่าพารามิเตอร์ด้วยโปรแกรมน้อย [initparameter] ที่ต้องใช้ในโปรแกรมน้อย [active] นี้ ให้มอเตอร์เซอร์โวหมุนเปิดลิ้นเข็มเซอร์โวที่ 10 รอบ เพื่อให้วงจรถอดล็อกต่อถึงกัน จากนั้นจะทำการตรวจสอบด้วยโปรแกรมน้อย [loopcheck] ซ้ำ ๆ จนกว่าอัตราลื่นไถล มีค่าเกินกว่าค่าที่ตั้งไว้ (15%) จะให้มอเตอร์เซอร์โวหมุนเปิดลิ้นเข็มเซอร์โวที่ 10 รอบ เพื่อทำการตัดวงจรถอดล็อกออกจากกัน ต่อด้วยโปรแกรมน้อย [prewheel] และจะกระทำซ้ำ ๆ ด้วยโปรแกรมน้อย [wheel] จนกว่าจะปล่อยหรือคายคันเหยียบห้ามล้อ หรือมีการกดคีย์

program slip_control

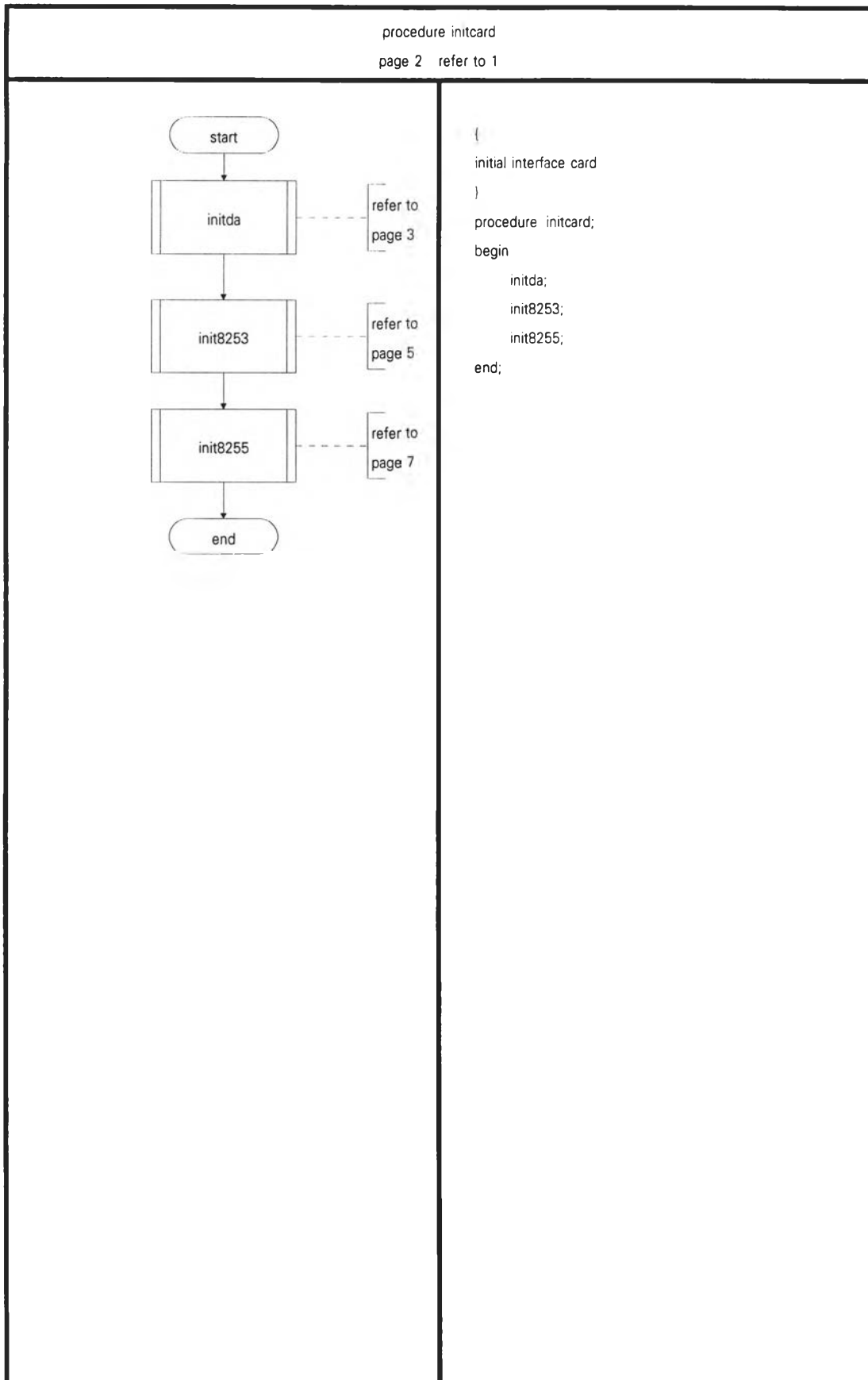
page 1 refer to -

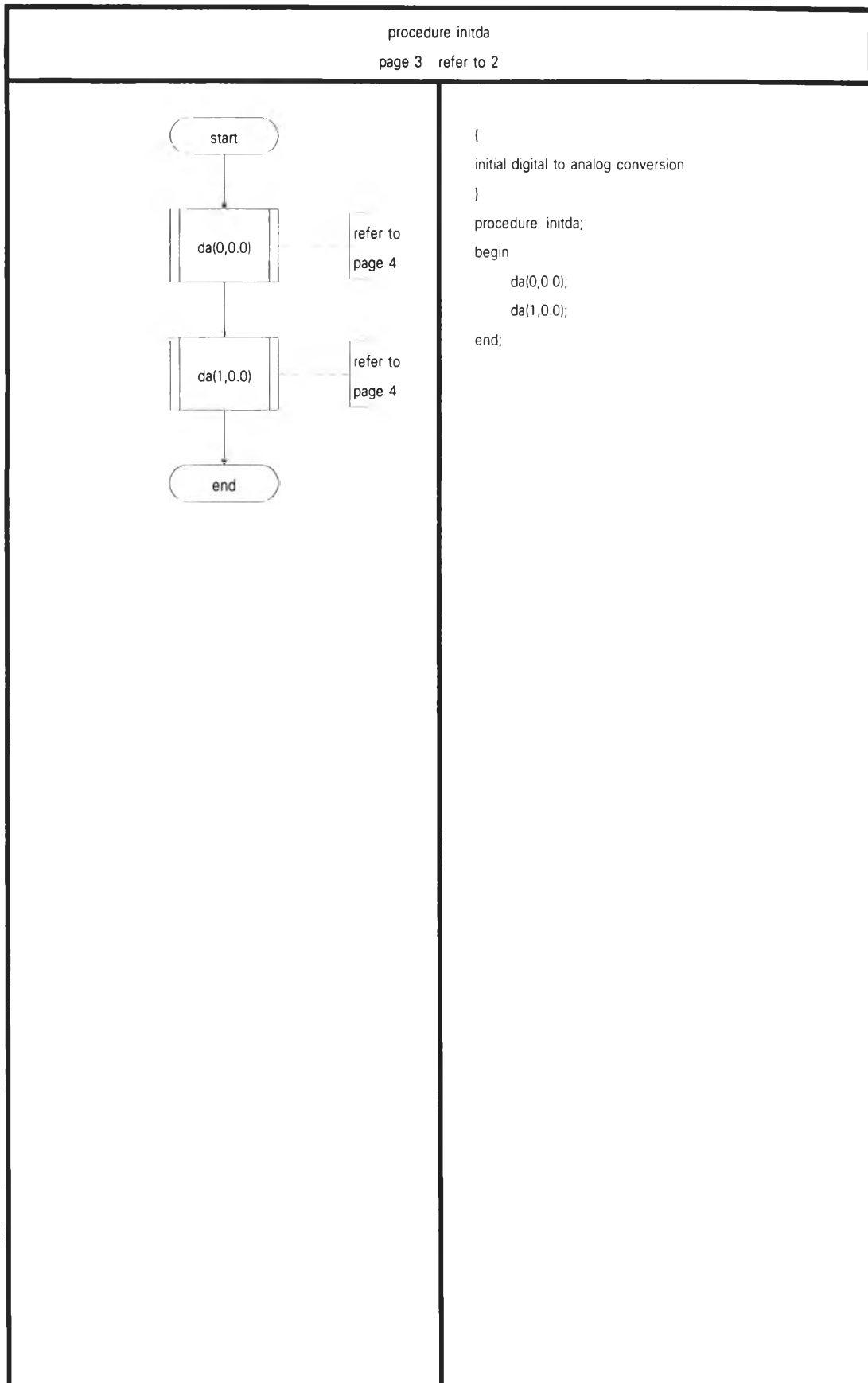


```

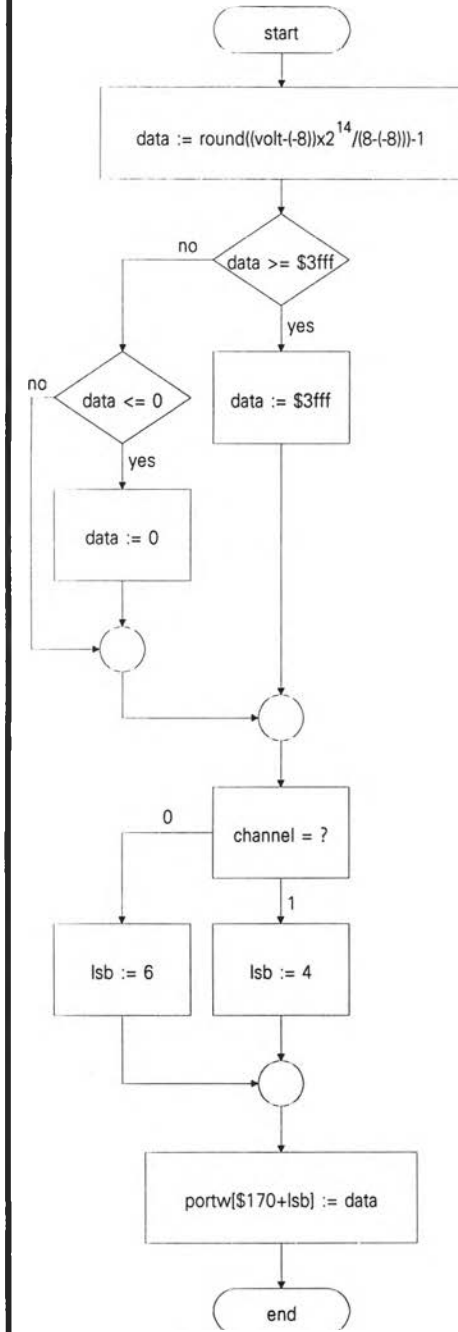
(
  an automotive slip control braking system program
)
program slip_control;
uses crt;
type float = real;
var t1, t2 : float;
    tim, tdm, tip, tdp, tds, tiw, tdw : float;
    kpm, kim, kdm, km0, km1, km2 : float;
    kpp, kip, kdp, kp0, kp1, kp2 : float;
    kpw, kiw, kdw, kw0, kw1, kw2 : float;
    enm, enm1, enm2, enp, enp1, enp2,
    enw, enw1, enw2 : float;
    rnm, rnp, rnw : float;
    mnm, mnm1, mnp, mnp1, mnw, mnw1 : float;
    pulse, revolve : float;
    intervalpulse : integer;
    pulsestart : word;
    pressure1, pressure2 : float;
    pulsestarta, pulsestartb : word;
    intervalpulsea, intervalpulseb : integer;
    omegaa, omegab, slipratio : float;
    count0, count1, count2 : word;
    counter : word;
    intervaltime0, intervaltime1,
    intervaltime2, intervaltime3 : word;
    time : integer;
    timestart1, timestart2 : byte;
    timestop1, timestop2 : byte;
    upperboundedslip : float;
    key, panel, checkpressure : boolean;
    ch : char;
begin(main)
  initcard;
  inittime;
  repeat
    active;
  until key = true;
end. (main)

```





procedure da(channel,volt)
page 4 refer to 3,16,19,25,41



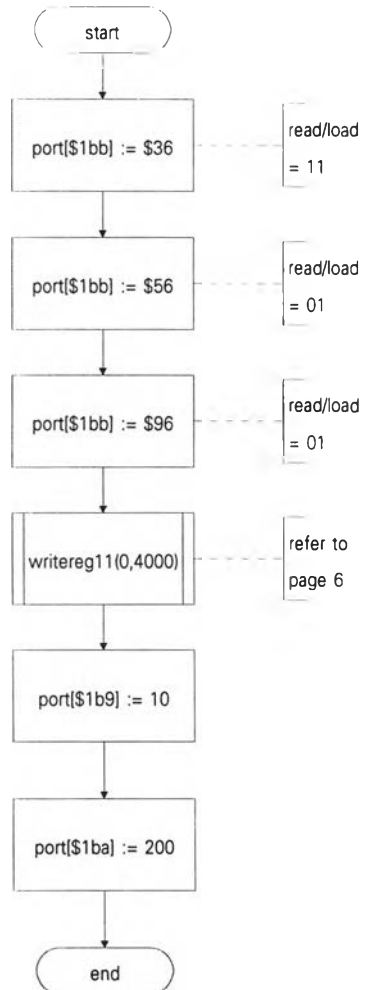
```

{
digital to analog conversion procedure
}
procedure da(channel:byte;volt:float);
var data,msb,lsb : word;
begin
  data := round((volt-(-8.0))*16384.0/(8.0-(-8.0)))-1;
  if (data >= $3fff) then data := $3fff else
  if (data <= 0) then data := 0;
  case channel of
    0 : lsb := 6;
    1 : lsb := 4;
  end;
  portw(base+lsb) := data;
end;
end;

```

procedure init8253

page 5 refer to 2



```

{
  initial timer/counter chip for setting up timing loops
  and writing on MODE control word register
}

```

```

procedure init8253;

```

```

begin

```

```

  port[base+11] := $36;

```

```

  port[base+11] := $56;

```

```

  port[base+11] := $96;

```

```

  writereg11(0,4000);

```

```

  port[base+9] := 10;

```

```

  port[base+10] := 200;

```

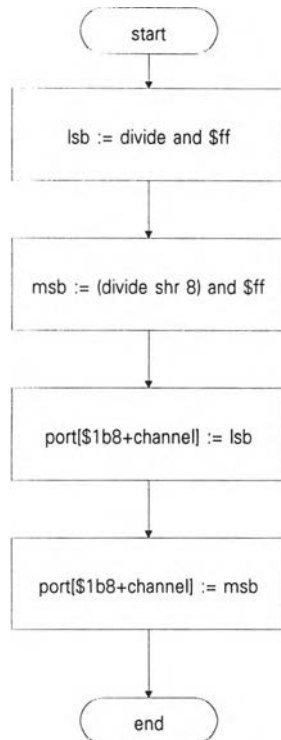
```

end;

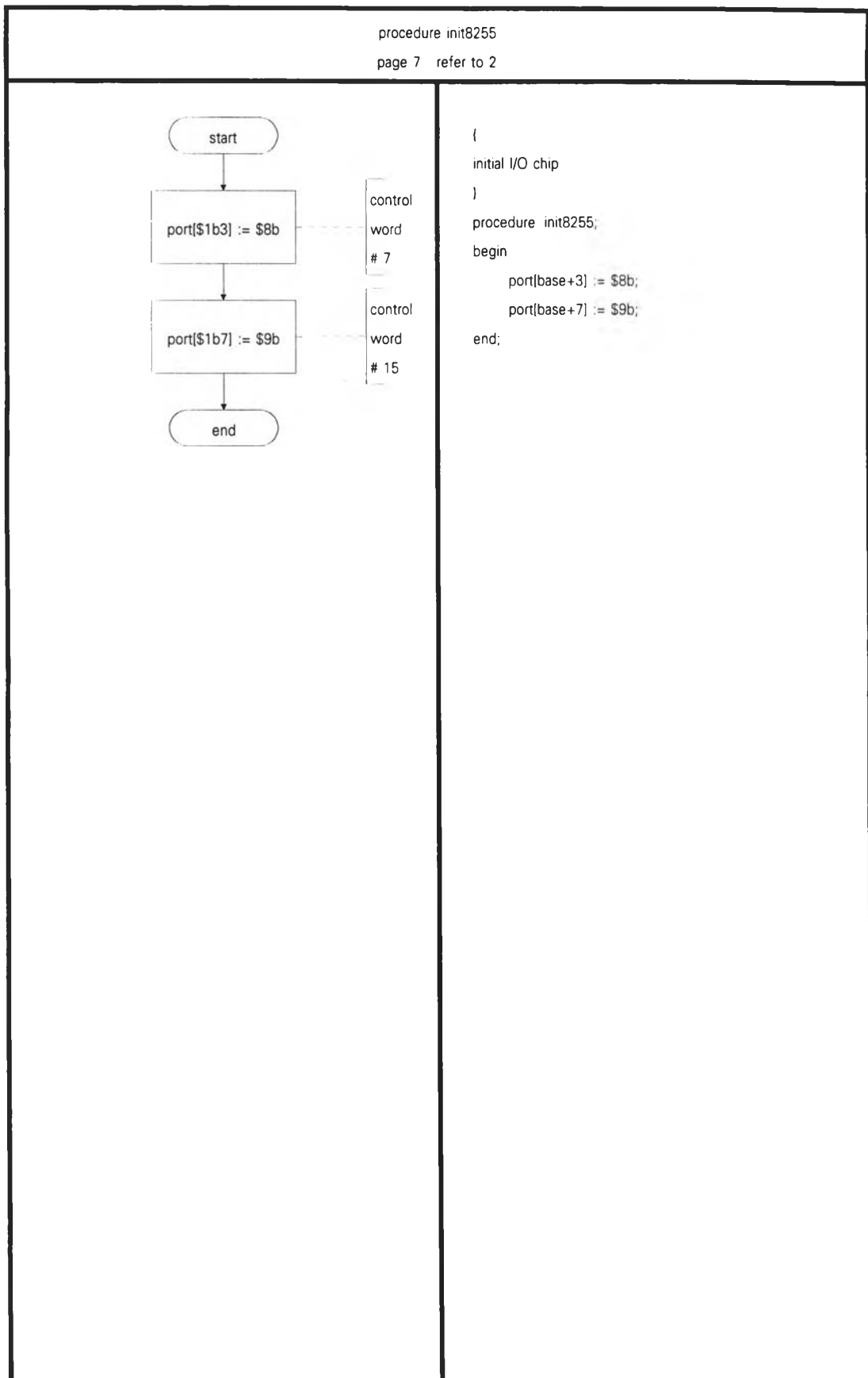
```

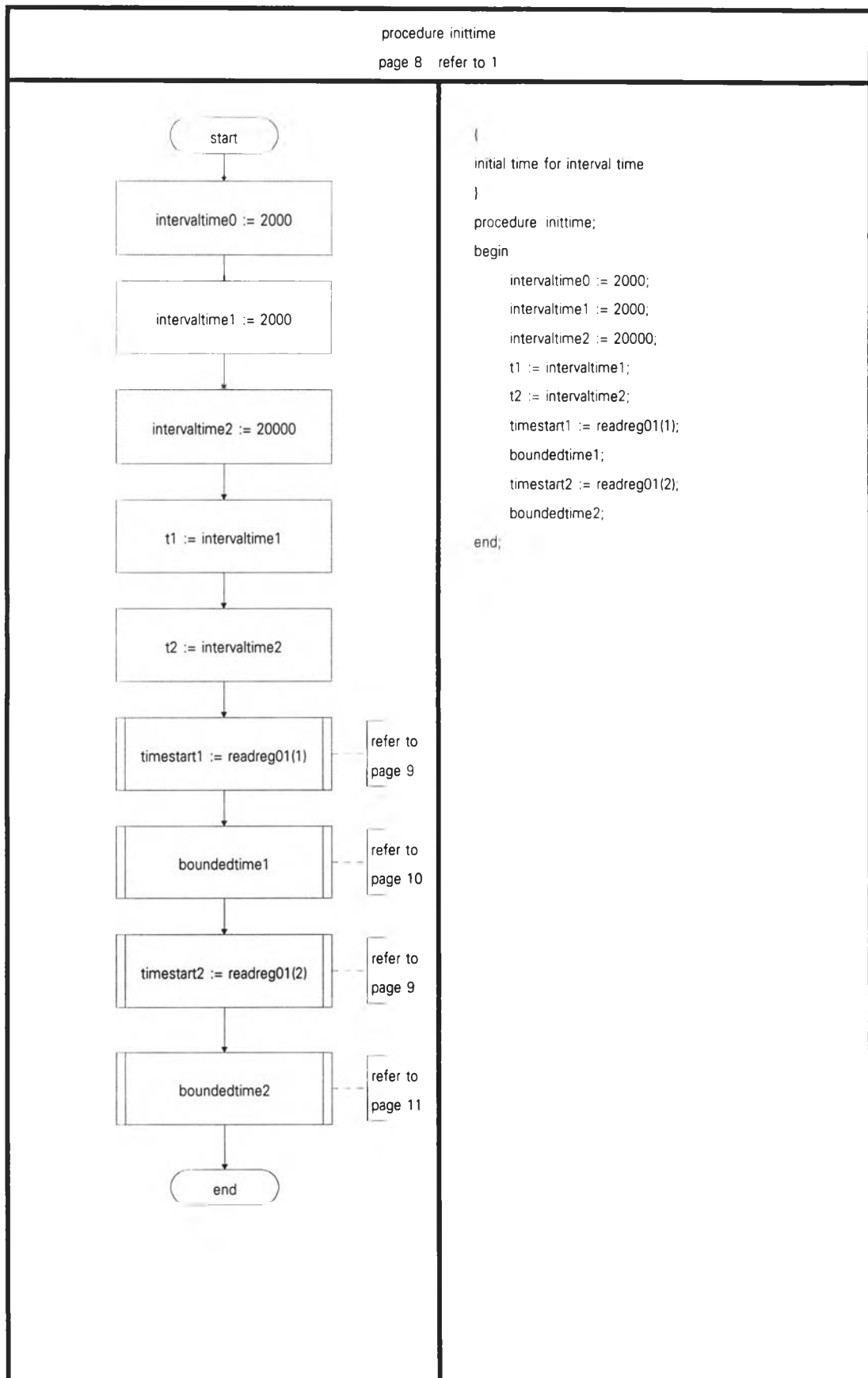
procedure writereg11(channel,divide)

page 6 refer to 5



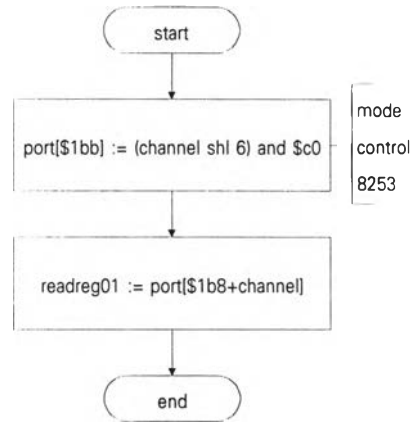
```
(  
writing on MODE control word register  
)  
procedure writereg11(channel:byte;divide:word);  
var lsb, msb : byte;  
begin  
    lsb := divide and $ff;  
    msb := (divide shr 8) and $ff;  
    port[base+8+channel] := lsb;  
    port[base+8+channel] := msb;  
end;
```



procedure readreg01(channel)

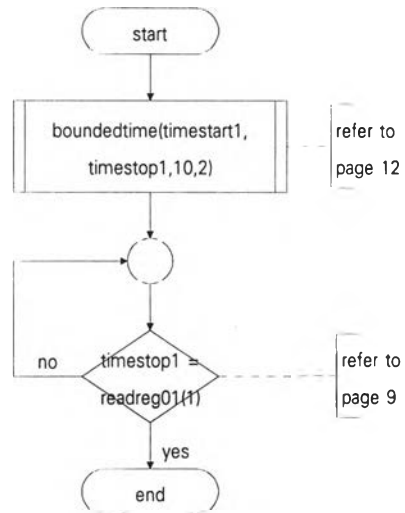
page 9 refer to 8,16,25,32,38



```
{  
  while counting using WR commands to read MODE  
  register and loading the MODE register  
}  
function readreg01(channel:byte):byte;  
begin  
  port[$1bb] := (channel shl 6) and $c0;  
  readreg01 := port[base+8+channel];  
end;
```

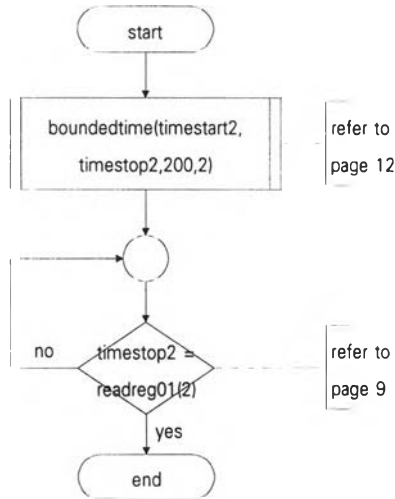
procedure boundedtime1

page 10 refer to 8,19,42



```
{
bounded time for counter 1
}
procedure boundedtime1;
begin
    boundedtime(timestart1,timestop1,10,2);
    repeat
        until timestop1 = readreg01(1);
    end;
```

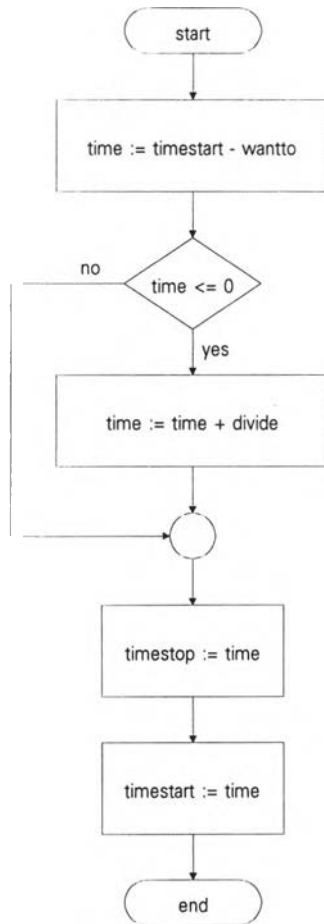
procedure boundedtime2
page 11 refer to 8,25,32,43



```
{  
  bounded time for counter 2  
}  
procedure boundedtime2;  
begin  
  boundedtime(timestart2,timestop2,200,2);  
  repeat  
    until timestop2 = readreg01(2);  
end;
```

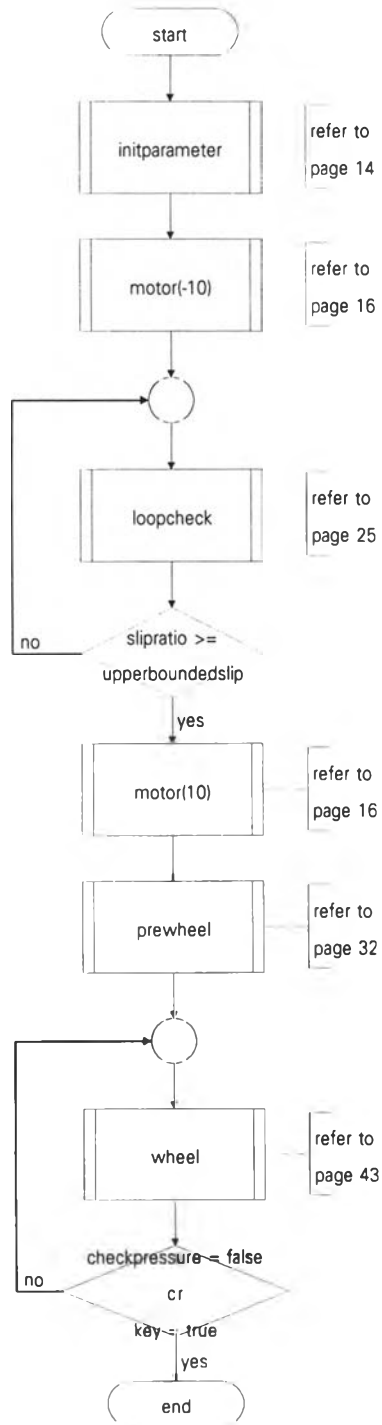
procedure boundedtime(timestart,timestop,divide,wantto)

page 12 refer to 10,11



```
{
bounded time loop
}
procedure boundedtime(var timestart,timestop:byte;
                      divide,wantto:byte);
var time : integer;
begin
    time := timestart-wantto;
    if time <= 0 then time := time + divide;
    timestop := time;
    timestart := time;
end;
```

procedure active
page 13 refer to 1

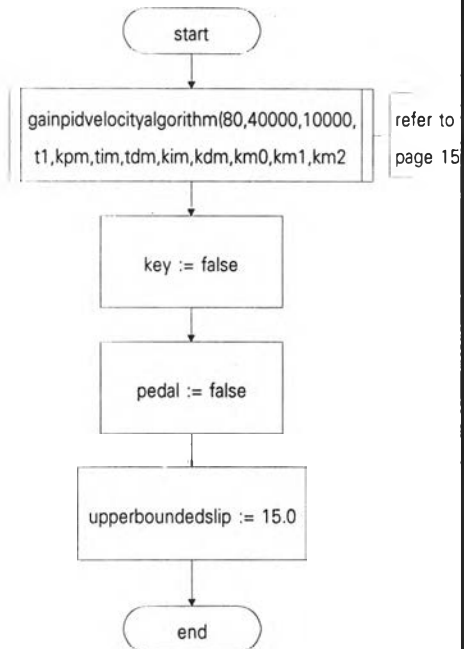


```

{
an active procedure is slip control when braking
}
procedure active;
begin
  initparameter;
  motor(-10.0); {open valve}
  repeat
    loopcheck;
  until slipratio >= upperboundedslip;
  motor(10.0);
  prewheel;
  repeat
    wheel;
  until (checkpressure = false) or (key = true);
end;
  
```

procedure initparameter

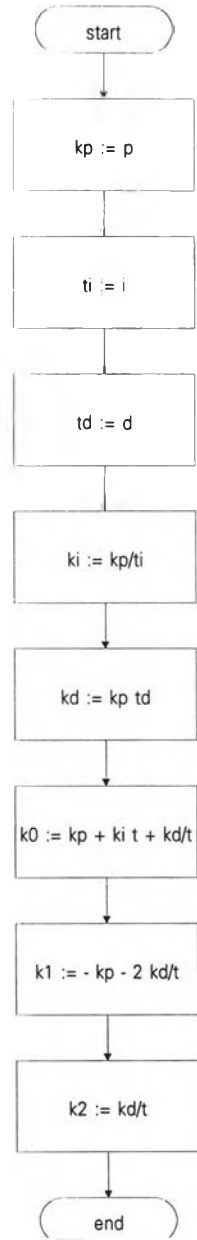
page 14 refer to 13



```
{
initial parameter
}
procedure initparameter;
begin
    gainpidvelocityalgorithm(80,40000,10000,t1,kpm,
        tim,tdm,kim,kdm,km0,km1,km2);
    key := false;
    pedal := false;
    upperboundedslip := 15.0;
end;
```


procedure gainpidvelocityalgorithm(p,i,d,t,kp,ti,td,ki,kd,k0,k1,k2)

page 15 refer to 14,33,39



```

{
gain of PID control action . written by approximate PID
control and using velocity algorithm.
}

```

```

procedure gainpidvelocityalgorithm(p,i,d:float;
var t,kp,ti,td,ki,kd,k0,k1,k2:float);

```

```
begin
```

```
  t := t;
```

```
  kp := p;
```

```
  ti := i;
```

```
  td := d;
```

```
  ki := kp/ti;
```

```
  kd := kp*td;
```

```
  k0 := kp + ki*t + kd/t;
```

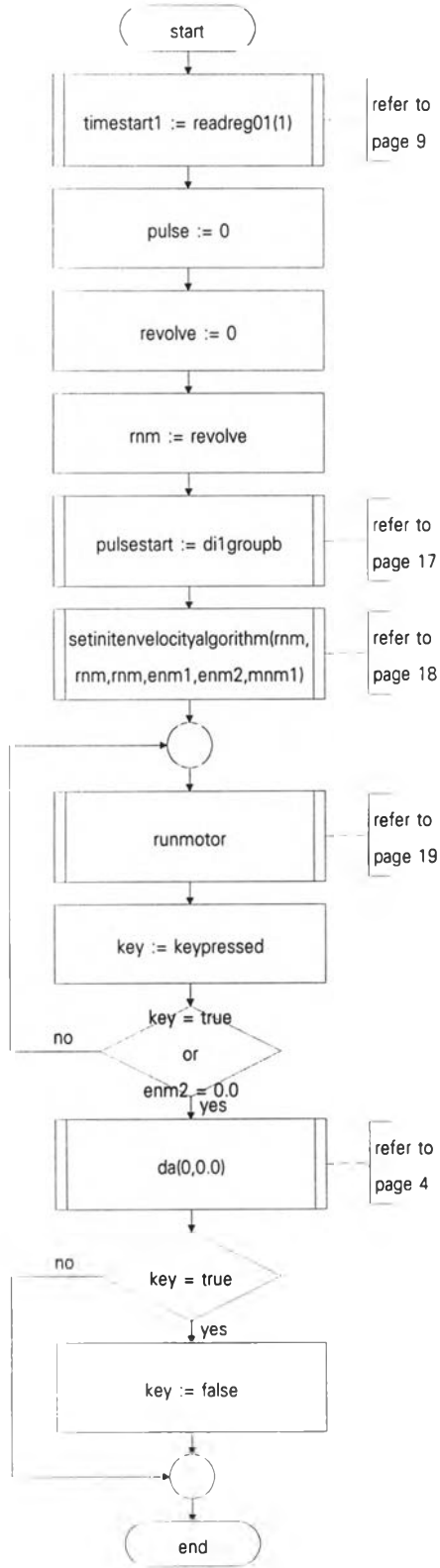
```
  k1 := -1.0*kp - 2.0*kd/t;
```

```
  k2 := kd/t;
```

```
end;
```

procedure motor(revolve)

page 16 refer to 13



```

(
motor driving to open and close servo needle valve
)

```

```

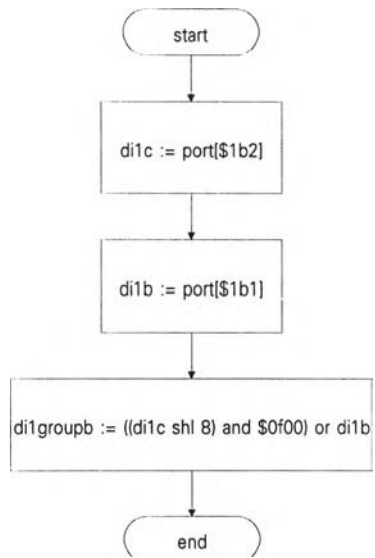
procedure motor(value:float);
begin
  timestart1 := readreg01(1);
  pulse := 0.0;
  revolve := 0.0;
  rnm := value;
  pulsestart := di1groupb;
  setinitenvelocityalgorithm(rnm,rnm,rnm,
                             enm1,enm2,mnm1);

  repeat
    runmotor;
    key := keypressed;
  until (key = true) or (enm2 = 0.0);
  da(0,0,0);
  if key = true then key := false;
end; {value < 0.0 - open valve}
      {value > 0.0 + closed valve}

```

procedure di1groupb

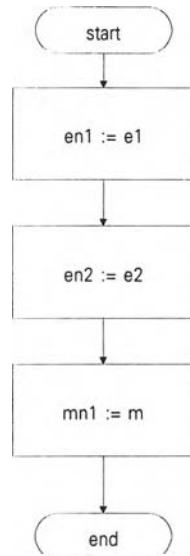
page 17 refer to 16,19



```
{  
reading group 1b at port 1c and port 1b  
}  
function di1groupb:word;  
var di1b, di1c : byte;  
begin  
    di1c := port[base+2];  
    di1b := port[base+1];  
    di1groupb := ((di1c shl 8) and $0f00) or di1b;  
end;
```

procedure setinitenvelocityalgorithm(e1,e2,m,en1,en2,mn1)

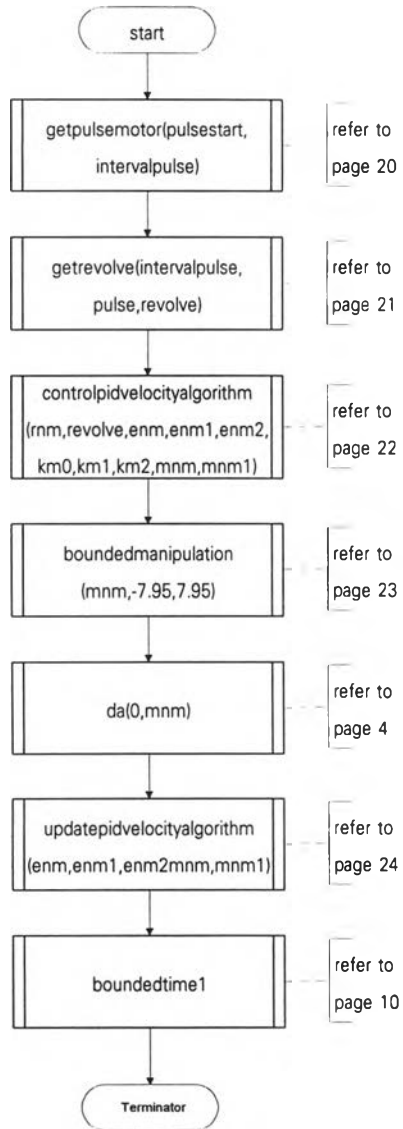
page 18 refer to 16,33,38



```
(  
  setting up error parameter  
)  
procedure setinitenvelocityalgorithm(e1,e2,m:float;  
  var en1,en2,mn1:float);  
  
begin  
  en1 := e1 ;  
  en2 := e2;  
  mn1 := m;  
end;
```

procedure runmotor

page 19 refer to 16



```

{
servo motor operation controlled by closed loop control
}

```

```

procedure runmotor;

```

```

begin

```

```

  getpulsemotor(pulsestart, intervalpulse);

```

```

  getrevolve(intervalpulse, pulse, revolve);

```

```

  controlpidvelocityalgorithm(rnm, revolve,
  enm, enm1, enm2, km0, km1, km2, mnm, mnm1);

```

```

  boundedmanipulation(mnm, -7.95, 7.95);

```

```

  da(0, mnm);

```

```

  updatepidvelocityalgorithm(enm, enm1, enm2,
  mnm, mnm1);

```

```

  boundedtime1;

```

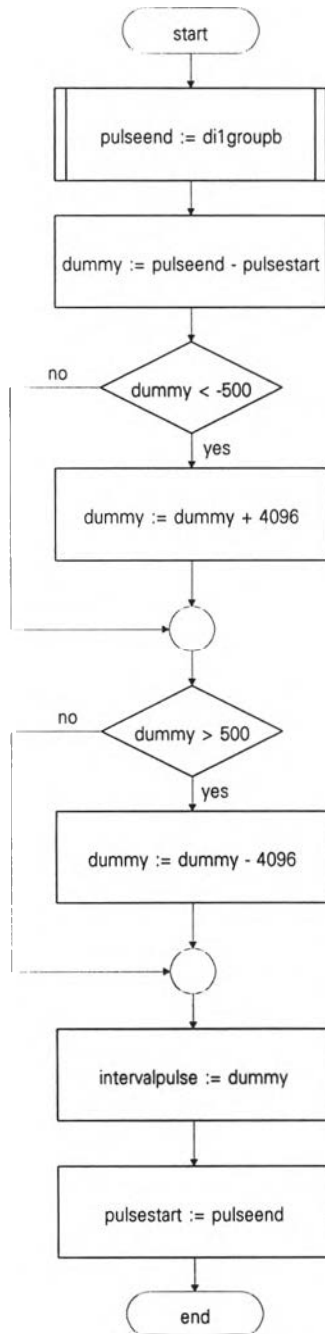
```

end;

```

procedure getpulsemotor(pulsestart, intervalpulse)

page 20 refer to 19



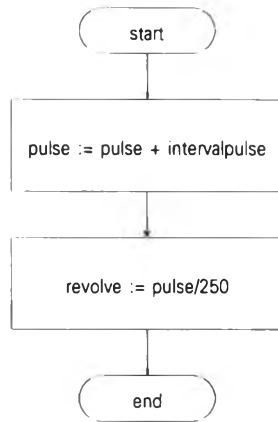
refer to
page 17

```

{
  reading interval pulse from encoder at the end of the
  servo motor
}
procedure getpulsemotor(var pulsestart:word;
  var intervalpulse:integer);
var pulseend : word;
  dummy : integer;
begin
  pulseend := di1groupb;
  dummy := pulseend - pulsestart;
  if dummy < -500 then dummy := dummy + 4096;
  if dummy > 500 then dummy := dummy - 4096;
  intervalpulse := dummy;
  pulsestart := pulseend;
end;
  
```

procedure getrevolve(intervalpulse,pulse,revolve)

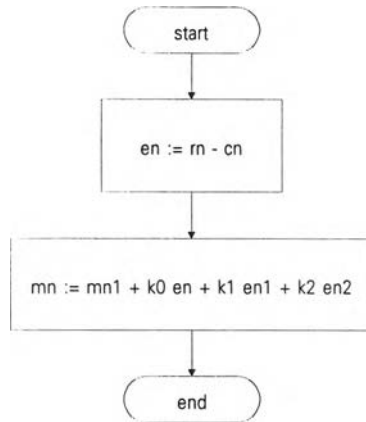
page 21 refer to 19



```
{  
getting revolution from encoder at theend of the servo  
motor  
}  
procedure getrevolve(intervalpulse:integer;  
var pulse,revolve:float);  
begin  
pulse := pulse + intervalpulse;  
revolve := pulse/250;  
end;
```

procedure controlpidvelocityalgorithm(rn,cn,en,en1,en2,k0,k1,k2,mn,mn1)

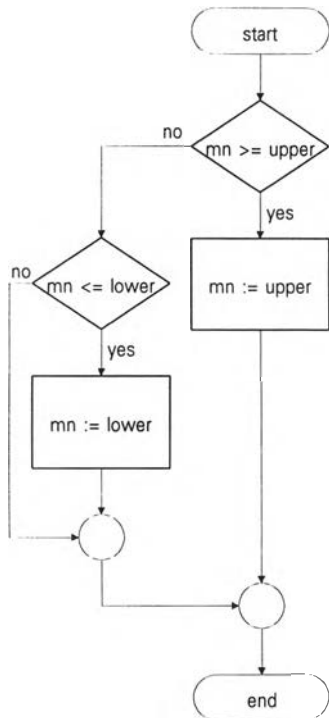
page 22 refer to 19,36,41



```
{  
PID control equation  
}  
procedure controlpidvelocityalgorithm(rn,cn:float;  
    var en:float;en1,en2,k0,k1,k2:float;  
    var mn:float;mn1:float);  
begin  
    en := rn - cn;  
    mn := mn1 + k0*en + k1*en1 + k2*en2;  
end;
```


procedure boundedmanipulation(mn,lower,upper)

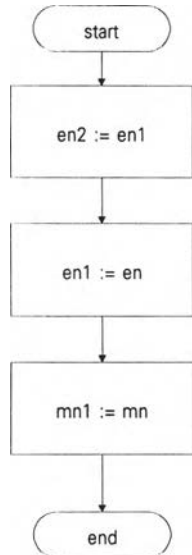
page 23 refer to 19,36,41



```
{
bounded manipulation
}
procedure boundedmanipulation(var mn:float;
lower,upper:float);
begin
if mn >= upper then mn := upper else
if mn <= lower then mn := lower;
end;
```

procedure updatepidvelocityalgorithm(en,en1,en2,mn,mn1)

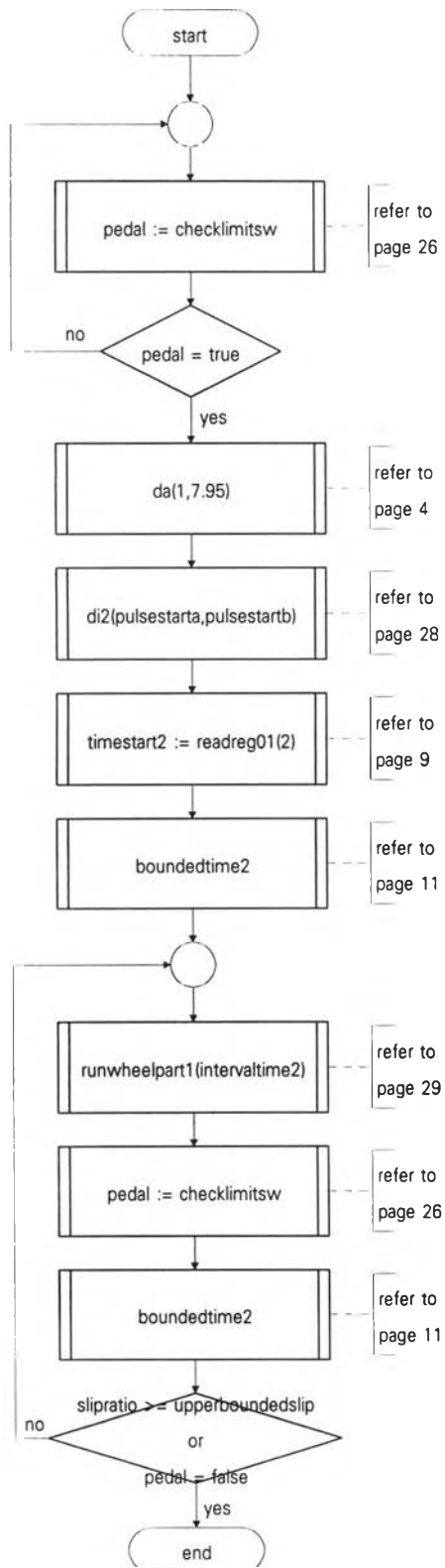
page 24 refer to 19,36,41



```
{  
  updated error parameter  
}  
procedure updatepidvelocityalgorithm(en:float;  
  var en1,en2:float;mn:float;var mn1:float);  
begin  
  en2 := en1;  
  en1 := en;  
  mn1 := mn;  
end;
```

procedure loopcheck

page 25 refer to 13



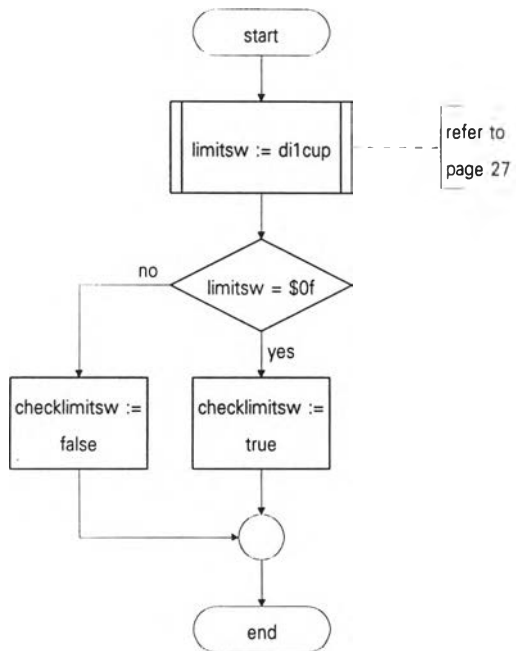
```

{
loop check for slip ratio when braking
}
procedure loopcheck;
begin
  repeat
    panel := checklimitsw;
  until panel = true;
  da(1,7.95);
  di2(pulsestarta,pulsestartb);
  timestart2 := readreg01(2);
  boundedtime2;
  repeat
    runwheelpart1(intervaltime2);
    panel := checklimitsw;
    boundedtime2;
  until (slipratio >= upperboundedslip) or
        (panel = false);
end;

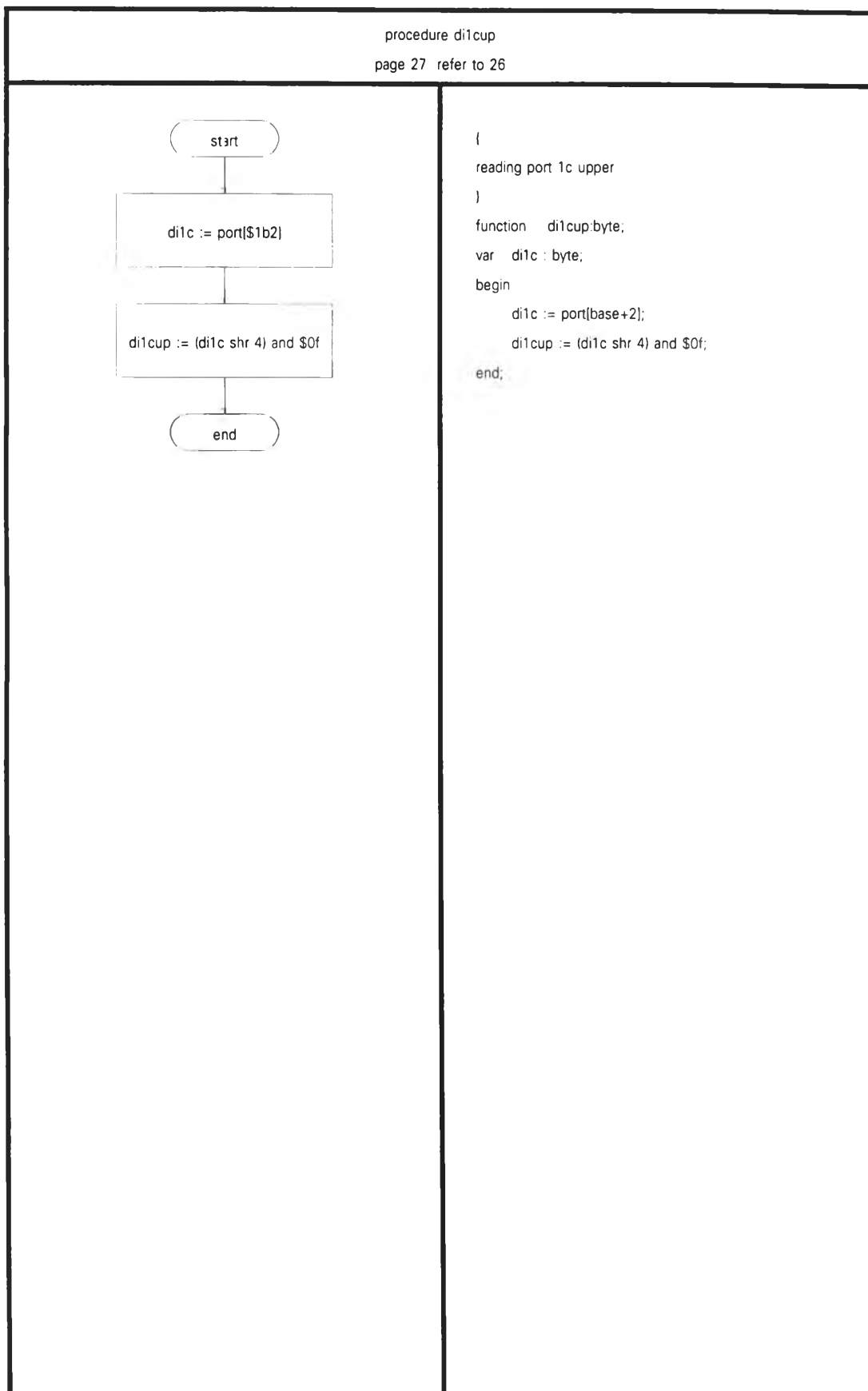
```

procedure checklimitsw

page 26 refer to 25

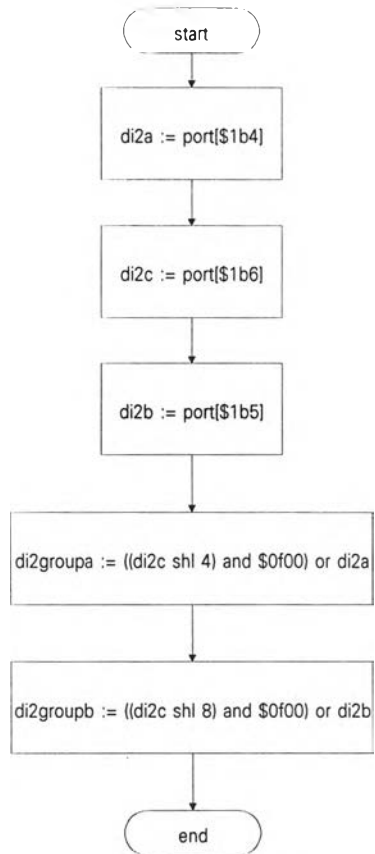


```
{
  checking limit switch when braking
}
function checklimitsw:boolean;
var limitsw : byte;
begin
  limitsw := di1cup;
  if limitsw = $0f then checklimitsw := true else
  checklimitsw := false;
end;
```

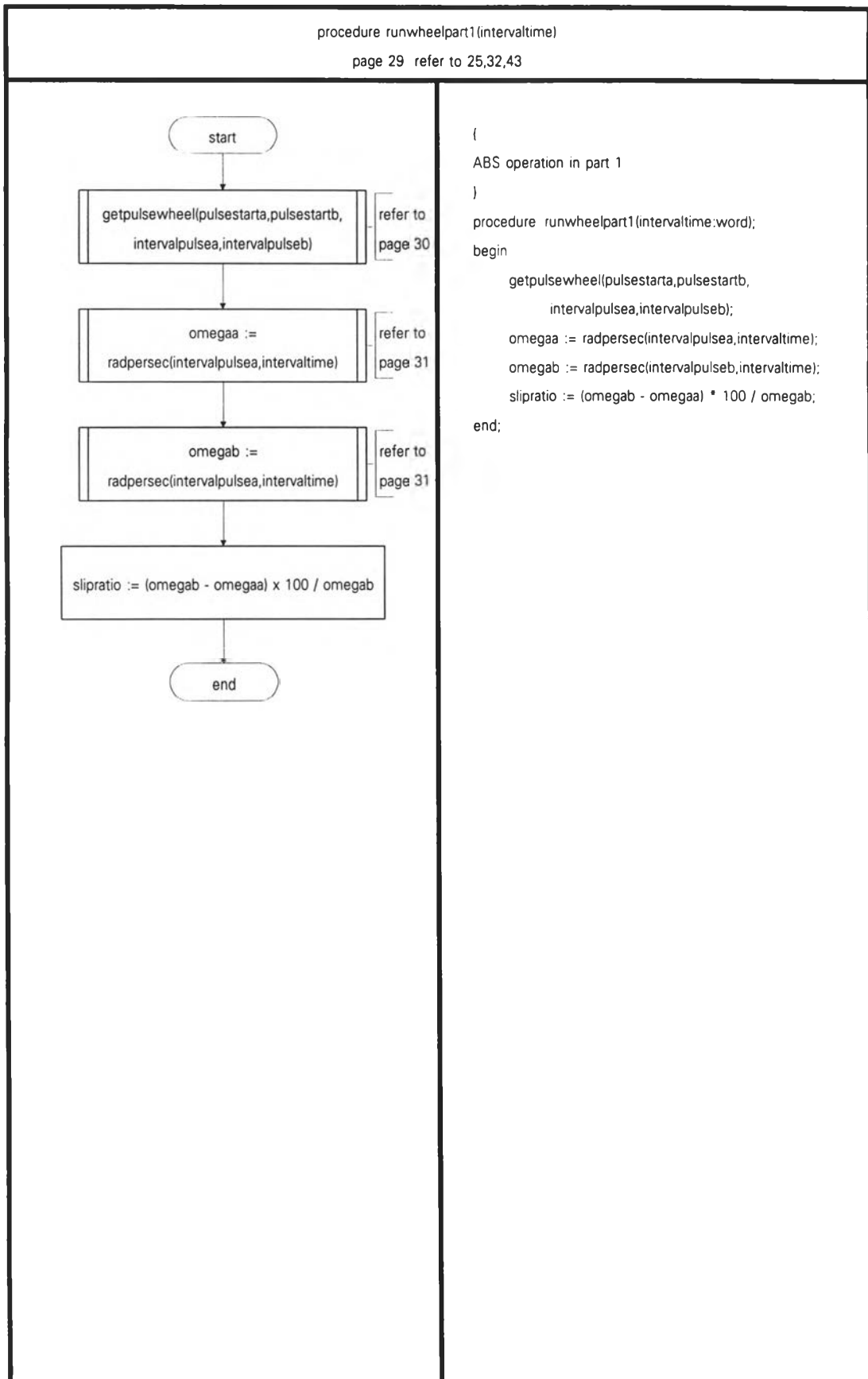


procedure di2(di2groupa,di2groupb)

page 28 refer to 25,30

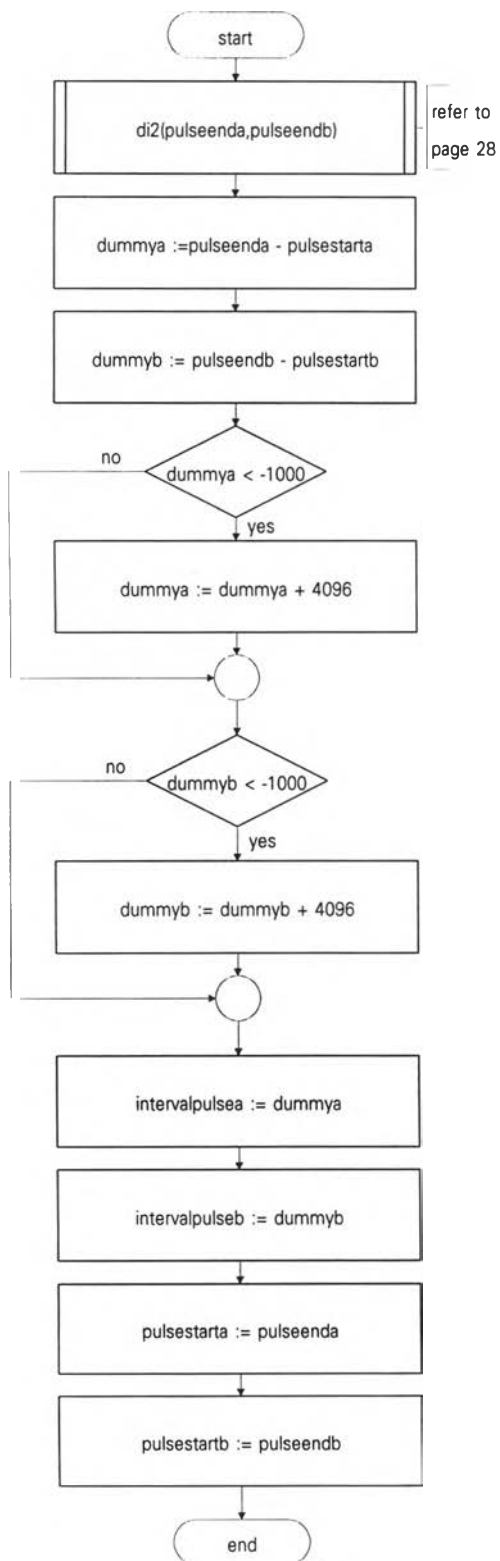


```
(  
  reading group 2a and group 2b at port 2a , port 2c and  
  port 2b  
)  
procedure di2(var di2groupa,di2groupb:word);  
var di2a, di2b, di2c : byte;  
begin  
  di2a := port[base+4];  
  di2c := port[base+6];  
  di2b := port[base+5];  
  di2groupa := ((di2c shl 4) and $0f00) or di2a;  
  di2groupb := ((di2c shl 8) and $0f00) or di2b;  
end;
```



procedure getpulsewheel(pulsestarta,pulsestartb,intervalpulsea,intervalpulseb)

page 30 refer to 29



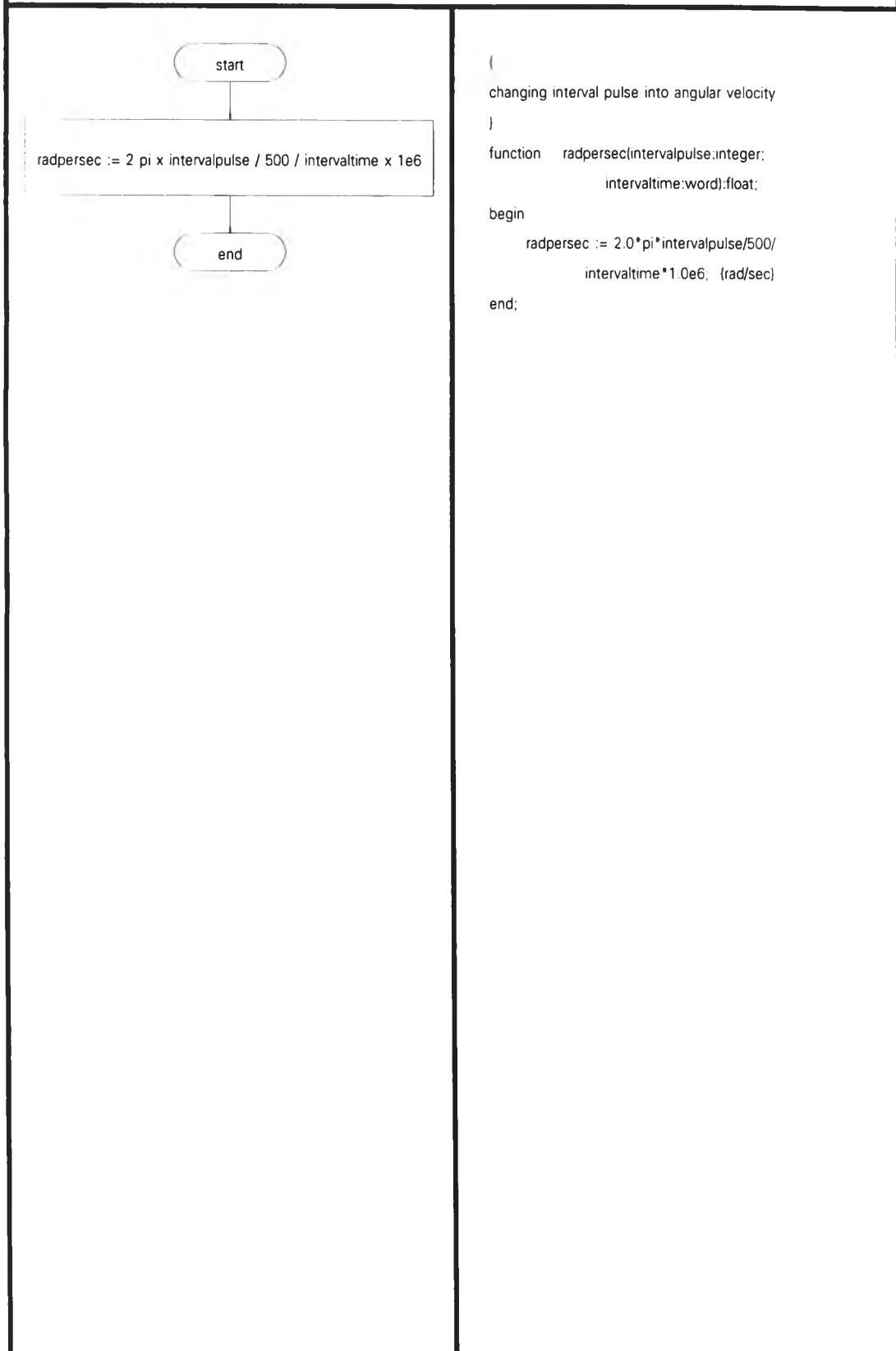
reading interval pulse from encoder at two wheels

```

)
procedure getpulsewheel(var pulsestarta,
    pulsestartb:word;
    var intervalpulsea,
    intervalpulseb:integer);
var pulseenda,pulseendb:word;
    dummya,dummyb:integer;
begin
    di2(pulseenda,pulseendb);
    dummya := pulseenda - pulsestarta;
    dummyb := pulseendb - pulsestartb;
    if dummya < -1000 then
        dummya := dummya + 4096;
    if dummyb < -1000 then
        dummyb := dummyb + 4096;
    intervalpulsea := dummya;
    intervalpulseb := dummyb;
    pulsestarta := pulseenda;
    pulsestartb := pulseendb;
end;
  
```

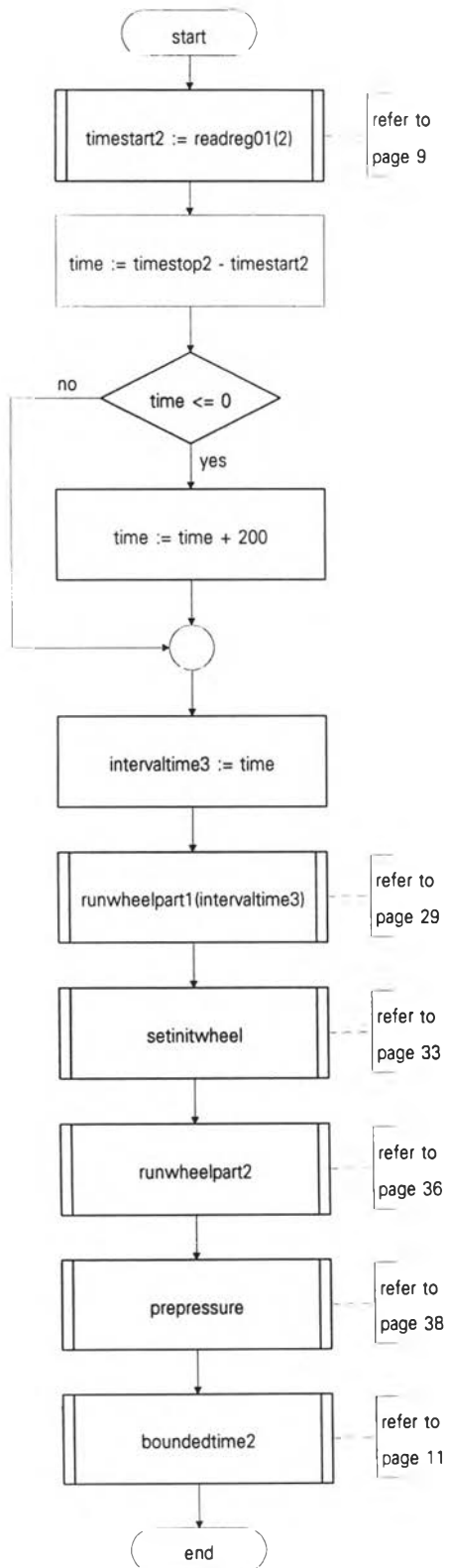

procedure radpersec(intervalpulse,intervaltime)

page 31 refer to 29



procedure prewheel

page 32 refer to 13



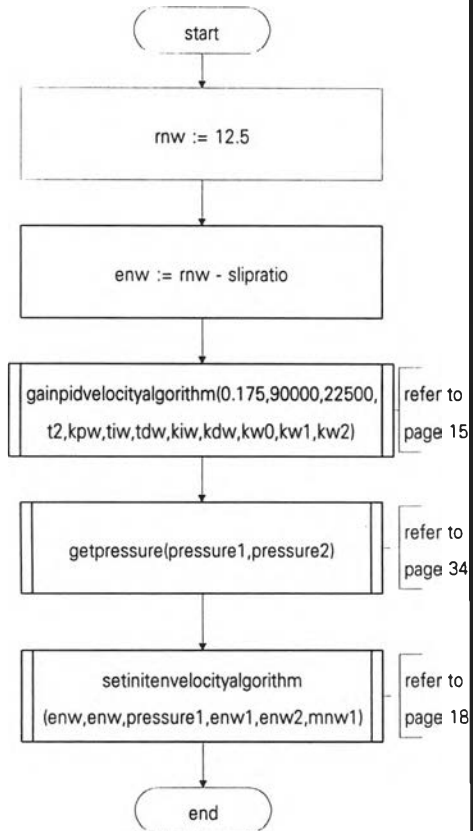
```

{
  ABS operation after the servo needle valve is closed.
}
procedure prewheel;
begin
  timestart2 := readreg01(2);
  time := timestop2 - timestart2;
  if time <= 0 then time := time + 200;
  intervaltime3 := time;
  runwheelpart1(intervaltime3);
  setinitwheel;
  runwheelpart2;
  prepressure;
  boundedtime2;
end;

```

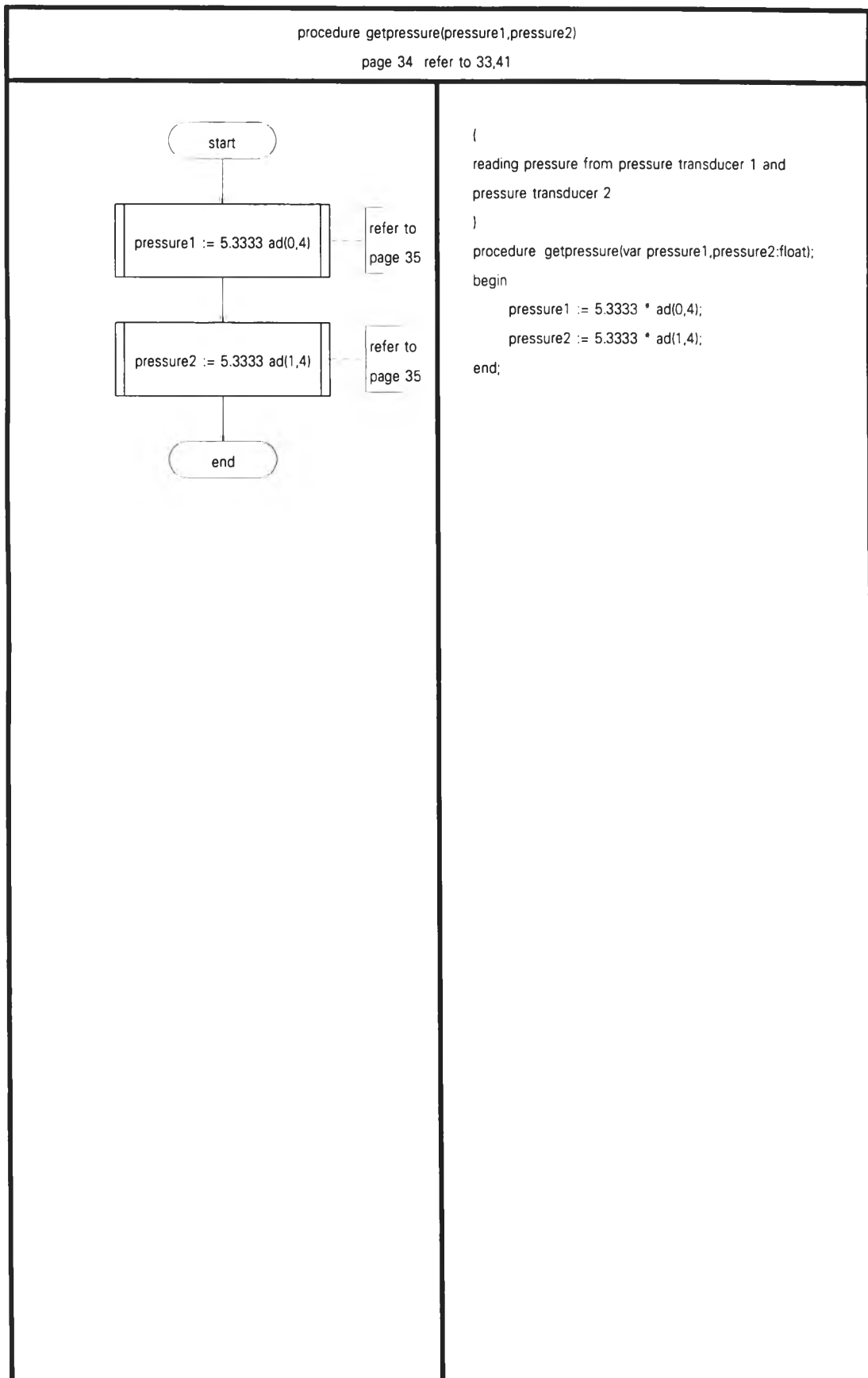
procedure setinitwheel

page 33 refer to 32



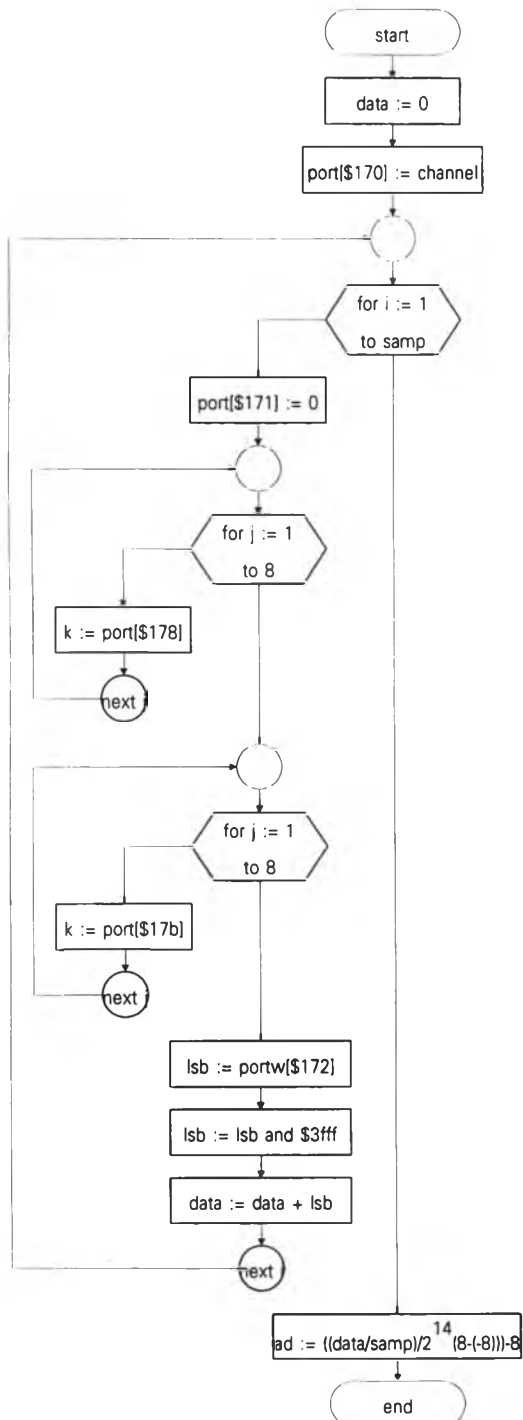
```

(
setting up initial wheel parameter
)
procedure setinitwheel;
begin
  rnw := 12.5;
  enw := rnw - slipratio;
  gainpidvelocityalgorithm(0.175,90000,22500,
    t2,kpw,tiw,tdw,kiw,kdw,kw0,kw1,kw2);
  getpressure(pressure1,presure2);
  setinitenvelocityalgorithm(enw,enw,presure1,
    enw1,enw2,mnw1);
end;
  
```



procedure ad(channel,samp)

page 35 refer to 34



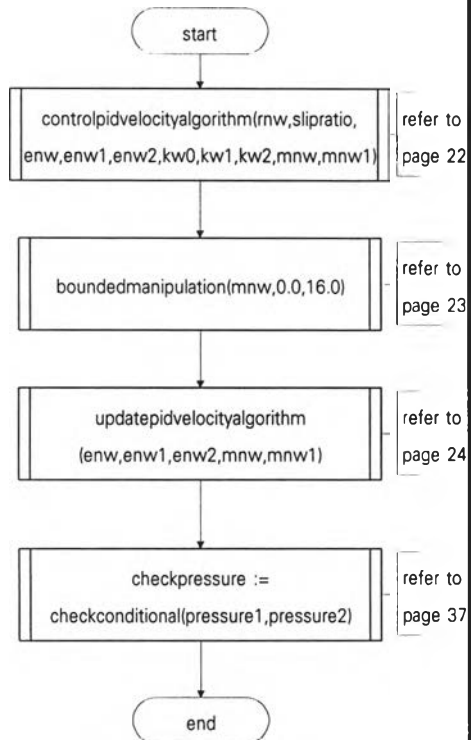
```

(
analog to digital conversion procedure
)
function ad(channel,samp:byte):float;
var data , lsb : word;
    i , j , k : byte;
begin
    data := 0;
    port[base+0] := channel;
    for i := 1 to samp do
    begin
        port[base+1] := 0;
        for j := 1 to 8 do begin k := port[base+ 8]; end;
        for j := 1 to 8 do begin k := port[base+12]; end;
        lsb := portw[base+2];
        lsb := lsb and $3fff;
        data := data + lsb;
    end;
    ad := ((data/samp)/16384.0*(8.0-(8.0)))-8.0;
end;

```

procedure runwheelpart2

page 36 refer to 32,43

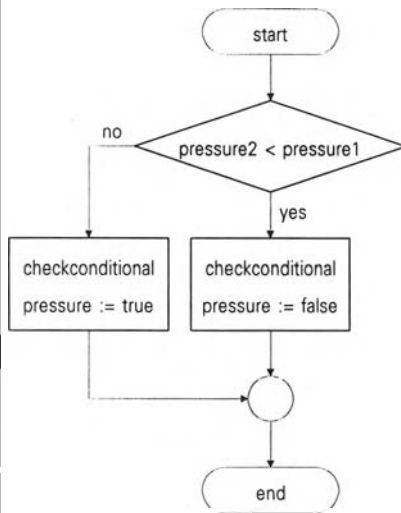


```

{
  ABS operation in part 2
}
procedure runwheelpart2;
begin
  controlpidvelocityalgorithm(rnw,slipratio,
    enw,enw1,enw2,kw0,kw1,kw2,mnw,mnw1);
  boundedmanipulation(mnw,0.0,16.0);
  updatepidvelocityalgorithm(enw,enw1,enw2,
    mnw,mnw1);
  checkpressure :=
    checkconditional(pressure1,presure2);
end;
  
```

procedure checkconditionalpressure(pressure1,pressure2)

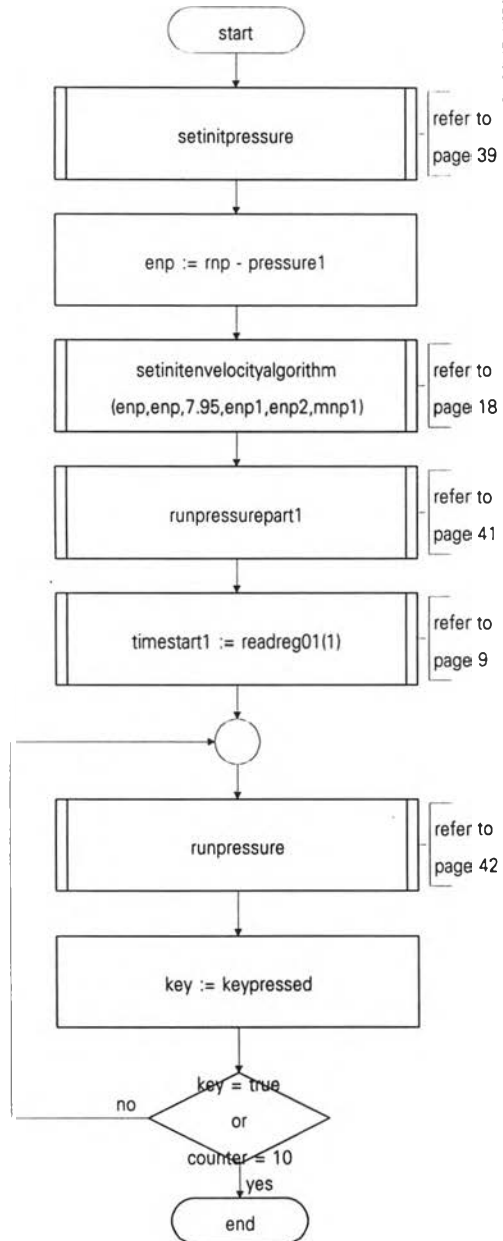
page 37 refer to 36



```
{  
  checking pressure condition  
}  
function  checkconditionalpressure(pressure1,  
      pressure2:float):boolean;  
begin  
  if (pressure2) < pressure1 then  
    checkconditionalpressure := false else  
    checkconditionalpressure := true;  
end;
```

procedure prepressure

page 38 refer to 32



```

{
solenoid actuator operation after the servo needle valve
is closed.
}

```

```

procedure prepressure;

```

```

begin

```

```

    setinitpressure;

```

```

    enp := rnp - pressure1;

```

```

    setinitvelocityalgorithm(enp, enp, 7.95, enp1, enp2,
                                mnp1);

```

```

    runpressurepart1;

```

```

    timestart1 := readreg01(1);

```

```

    repeat

```

```

        runpressure;

```

```

        key := keypressed;

```

```

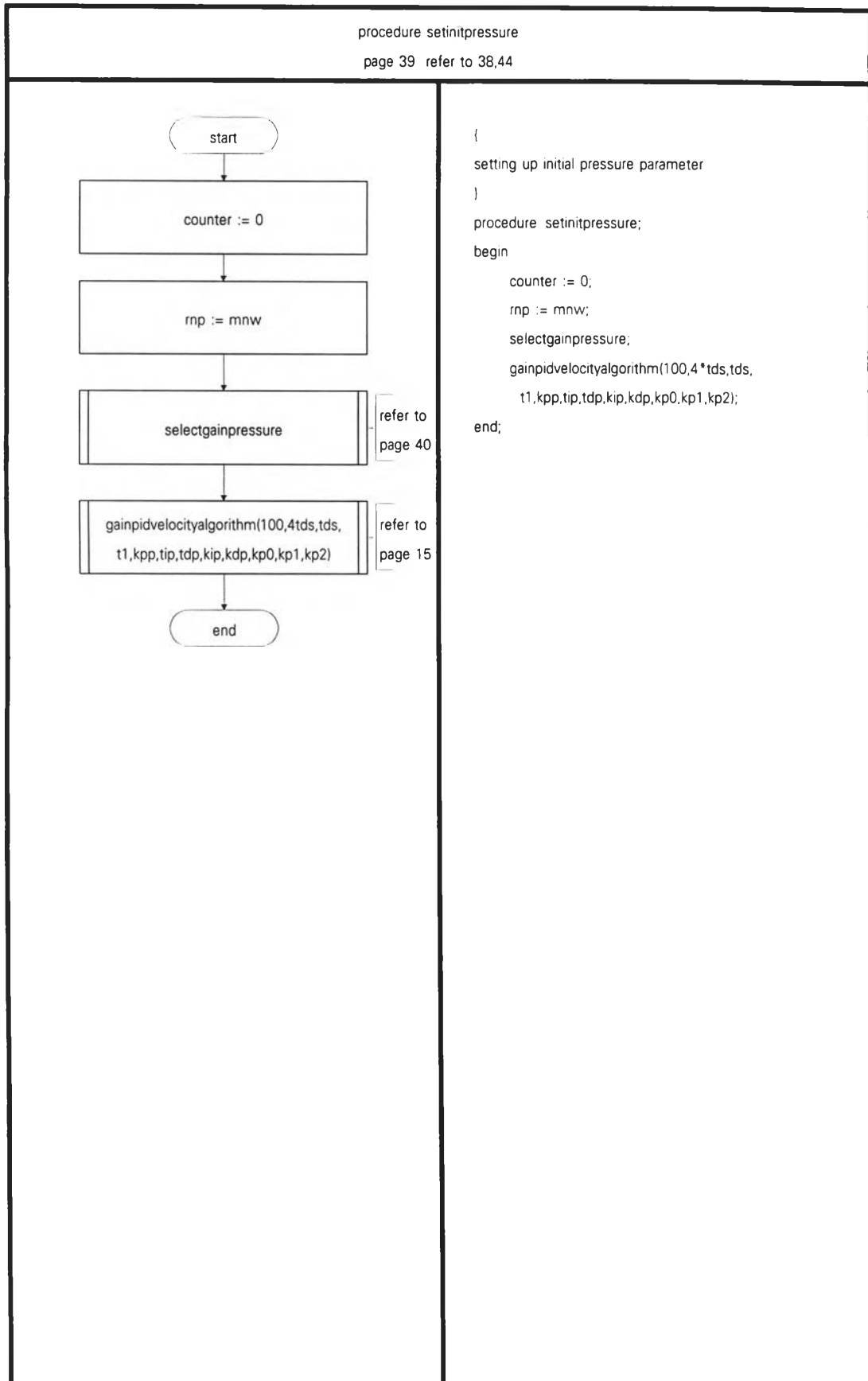
    until (key = true) or (counter = 10);

```

```

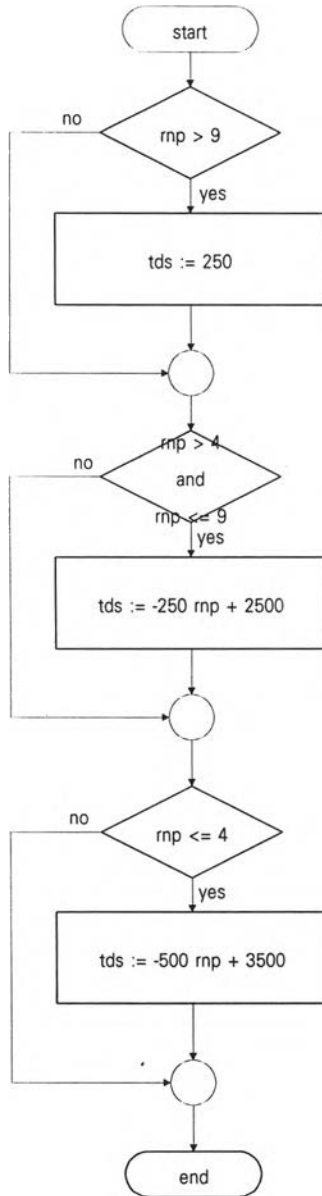
end;

```

procedure selectgainpressure

page 40 refer to 39



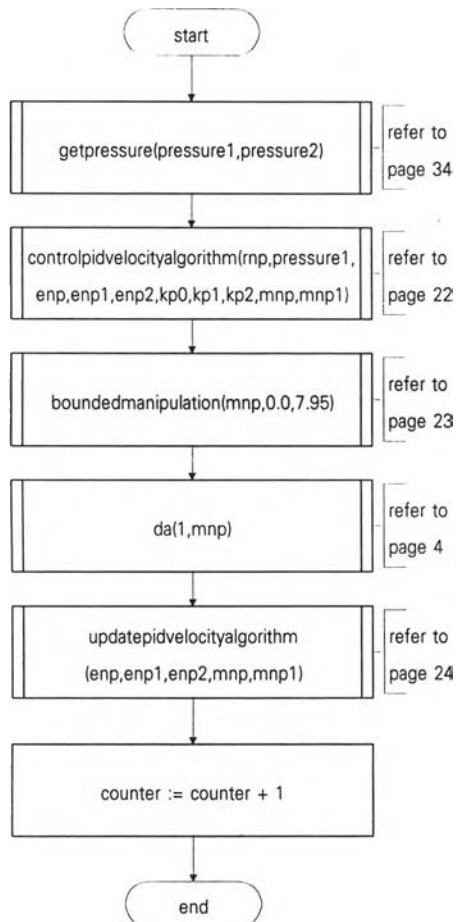
```

(
gain schedule for solenoid actuator
)
procedure selectgainpressure;
begin
  if (rnp > 9) then tds := 250;
  if (rnp > 4) and (rnp <= 9) then
    tds := -250 * rnp + 2500;
  if (rnp <= 4) then
    tds := -500 * rnp + 3500;
end;

```

procedure runpressurepart1

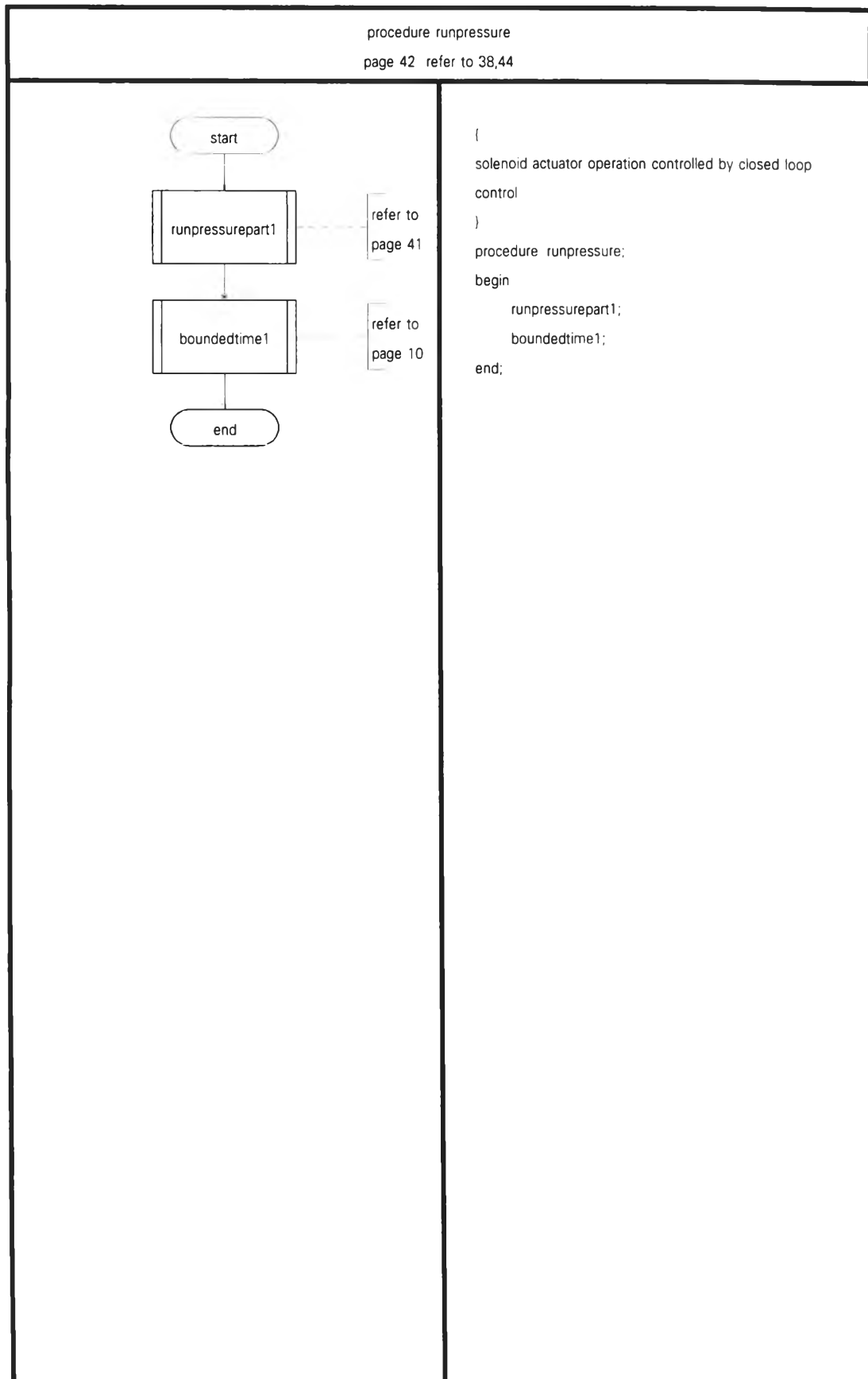
page 41 refer to 38,42



```

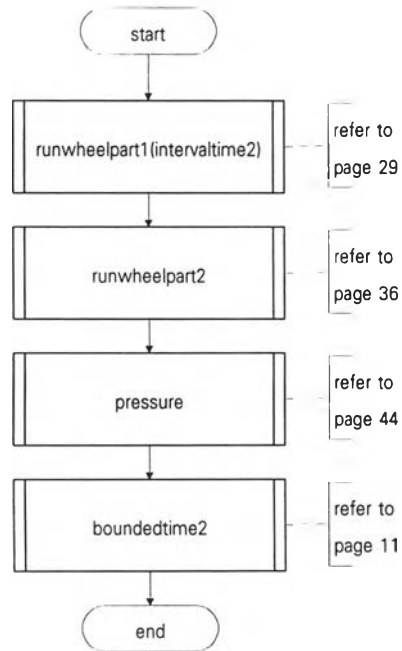
{
solenoid actuator operation in part 1
}
procedure runpressurepart1:
begin
  getpressure(pressure1,pressure2);
  controlpidvelocityalgorithm(rnp,pressure1,
    enp,enp1,enp2,kp0,kp1,kp2,mnp,mnp1);
  boundedmanipulation(mnp,0.0,7.95);
  da(1,mnp);
  updatepidvelocityalgorithm(enp,enp1,enp2,
    mnp,mnp1);

  counter := counter + 1;
end;
  
```



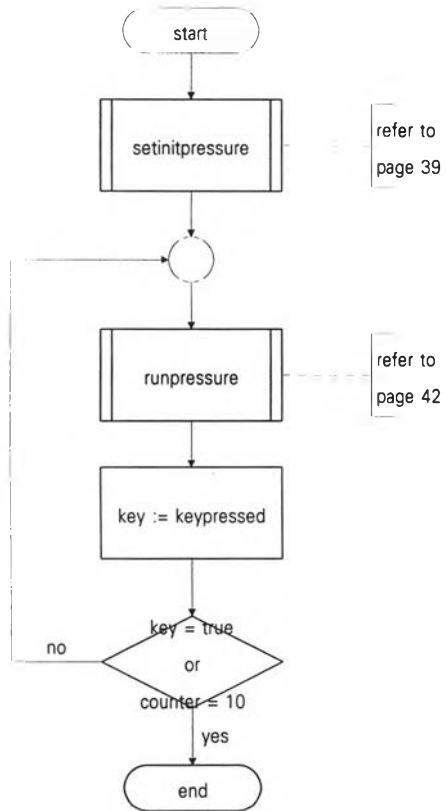
procedure wheel

page 43 refer to 13



```
{  
  ABS operation controlled by closed loop control  
}  
procedure wheel;  
begin  
  runwheelpart1(intervaltime2);  
  runwheelpart2;  
  pressure;  
  boundedtime2;  
end;
```

procedure pressure
page 44 refer to 43



```
{  
solenoid actuator operation for 10 times  
}  
procedure pressure;  
begin  
setinitpressure;  
repeat  
runpressure;  
key := keypressed;  
until (key = true) or (counter = 10);  
end;
```

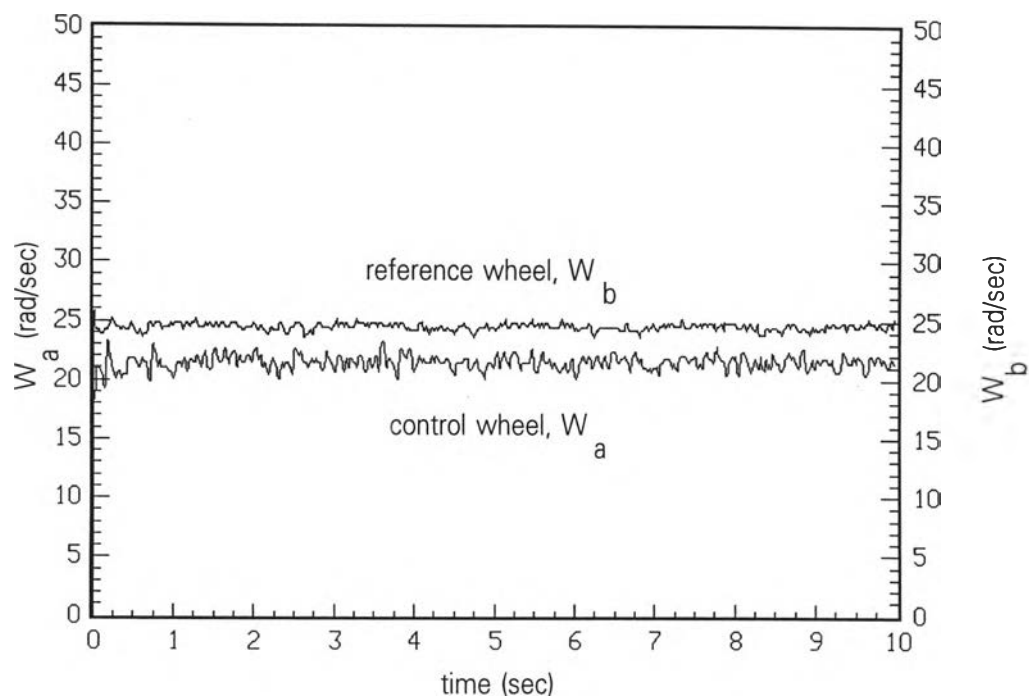


ภาคผนวก ข.

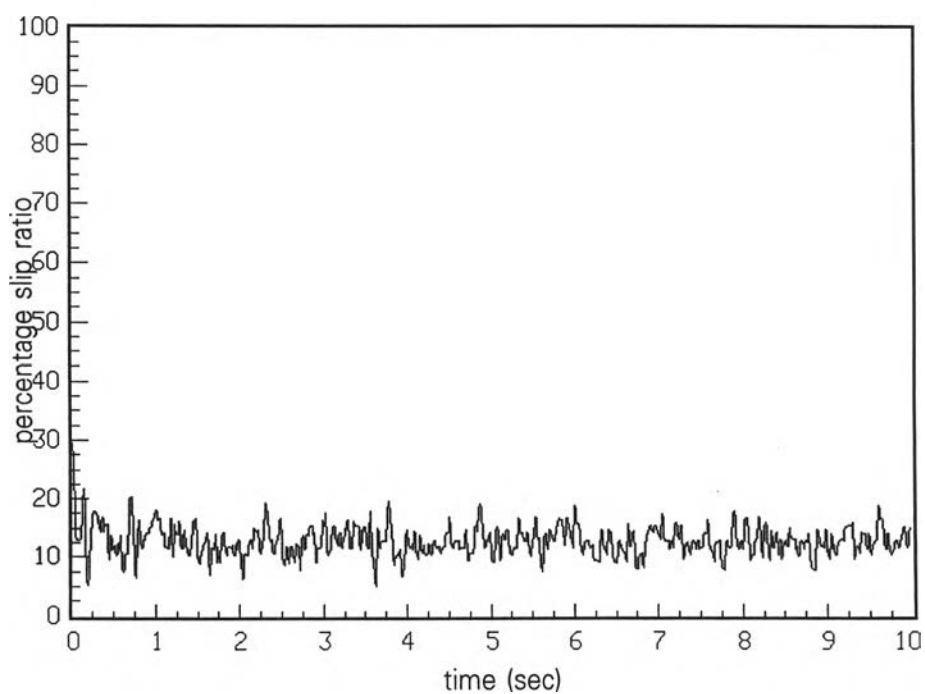
การตอบสนองของล้อยทั้งสอง และอัตราการลื่นไถล

การทดสอบโดยการปรับการรับภาระน้ำหนักที่ล้อยกดบนลูกกลิ้งเหล็กตั้งแต่ช่วง 300 - 600 กิโลกรัม ทำการปรับให้รับภาระน้ำหนักที่ 600 , 550 , 500 , 450 , 400 , 350 และ 300 กิโลกรัม ตามลำดับ ผลการทดสอบ รูปที่ ข.1 , ข.3 , ข.5 , ข.7 , ข.9 และ ข.11 จะแสดงความเร็วเชิงมุมของล้อที่ถูกควบคุมกับล้ออ้างอิงต่อเวลา ซึ่งให้ผลการควบคุมอัตราลื่นไถลในช่วง 5 - 20% ดังแสดงในรูปที่ ข.2 , ข.4 , ข.6 , ข.8 , ข.10 และ ข.12

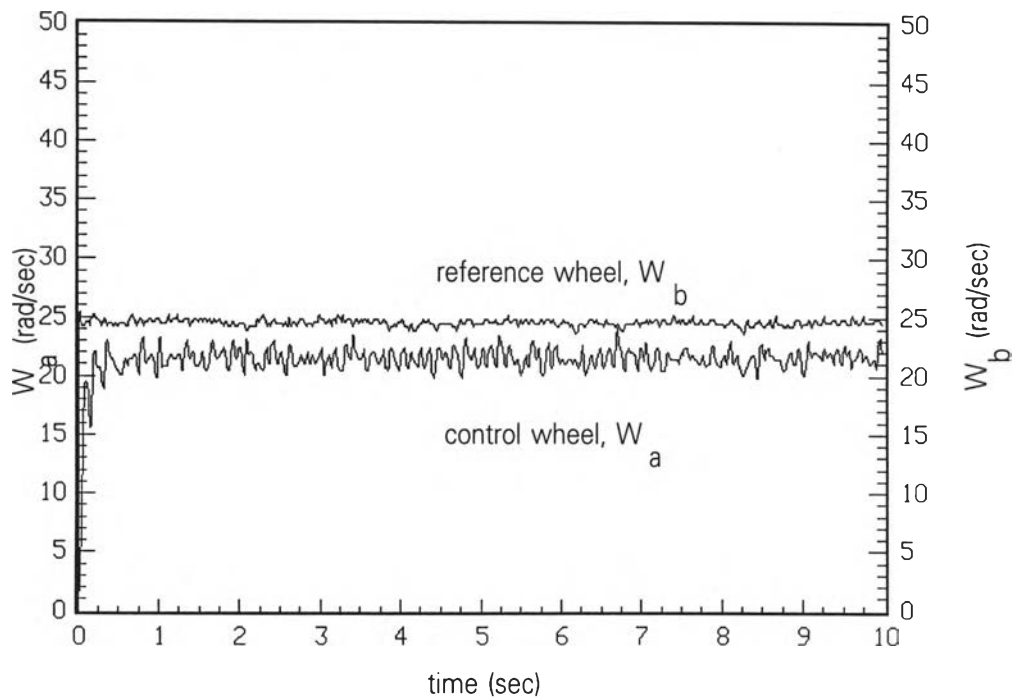
ในรูป ข.1 , ข.3 , ข.5 , ข.7 , ข.9 และ ข.11 เป็นการรับค่าจากเอนโคเดอร์ ที่นำมาเป็นอุปกรณ์ตรวจจับความเร็วรอบของล้อ เป็นสัญญาณพัลส์ และผ่านดีโคเดอร์แปลงเป็นค่าไบนารี 12 บิต ค่าที่ได้จะไม่ราบเรียบ โดยดูได้จากการตอบสนองของล้ออ้างอิงที่แสดงในรูปดังกล่าว อีกทั้งการตอบสนองล้อที่ถูกควบคุมในช่วงการตอบสนองชั่วคราวจะหมุนช้ากว่าล้ออ้างอิงมากในช่วงต้น และจะหมุนเร็วขึ้น และมีการแกว่งตัว เมื่อเวลาผ่านไป การตอบสนองคงตัวความเร็วเชิงมุมของล้อที่ถูกควบคุมจะมีการแกว่งตัวมากเมื่อทดสอบรับภาระน้ำหนักน้อย และจะแกว่งตัวน้อยเมื่อทดสอบรับภาระน้ำหนักมาก และการคำนวณหาค่าอัตราการลื่นไถลซึ่งแสดงในรูป ข.2 , ข.4 , ข.6 , ข.8 , ข.10 และ ข.12 การตอบสนองอัตราลื่นไถลเมื่อทดสอบภาระน้ำหนักมากจะมีการแกว่งตัวน้อย ซึ่งจะภายในขอบเขต 5 - 20% และการตอบสนองอัตราลื่นไถลเมื่อทดสอบรับภาระน้ำหนักน้อยจะมีการแกว่งตัวมาก ซึ่งก็ยังอยู่ในขอบเขต 5 - 20% แต่ก็จะมีบางเวลาที่มีการตอบสนองหลุดออกนอกขอบเขต



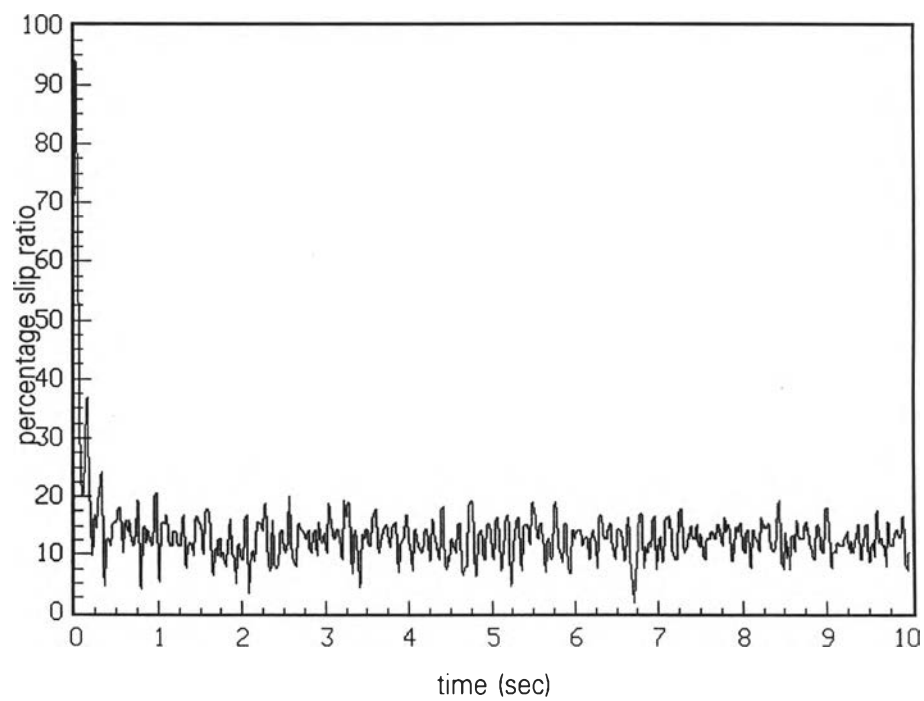
รูปที่ ๑.๑ แสดงความเร็วเชิงมุมของล้อที่ถูกควบคุมกับล้ออ้างอิงสัมพันธ์กับเวลา
ทดสอบรับภาระน้ำหนักที่ 600 กิโลกรัม



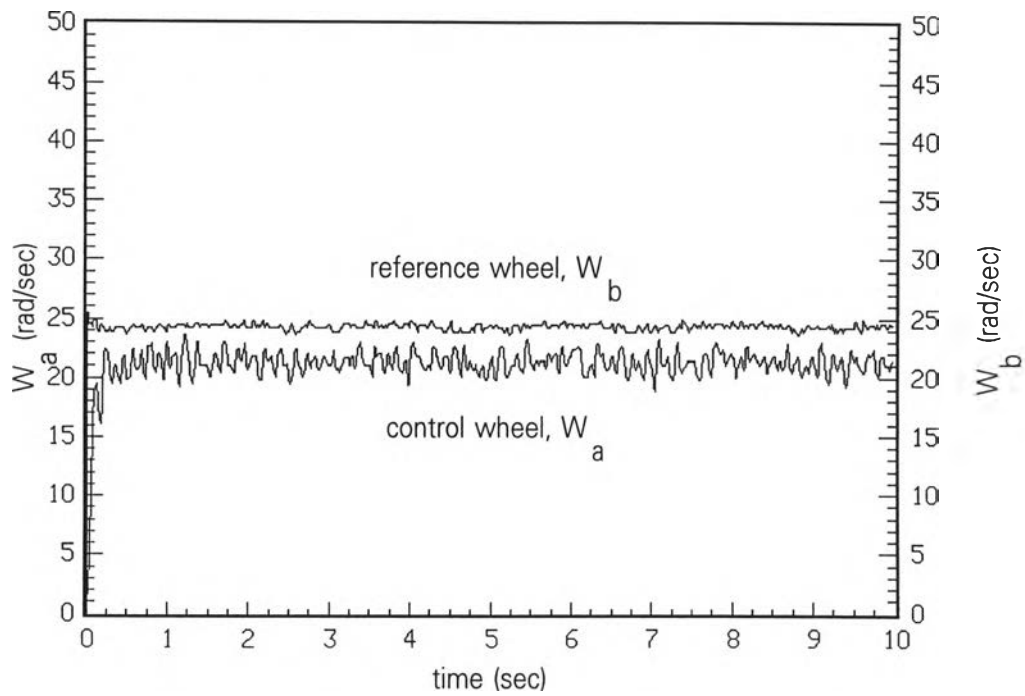
รูปที่ ๑.๒ แสดงค่าอัตราลื่นไถลสัมพันธ์กับเวลา
ทดสอบรับภาระน้ำหนักที่ 600 กิโลกรัม



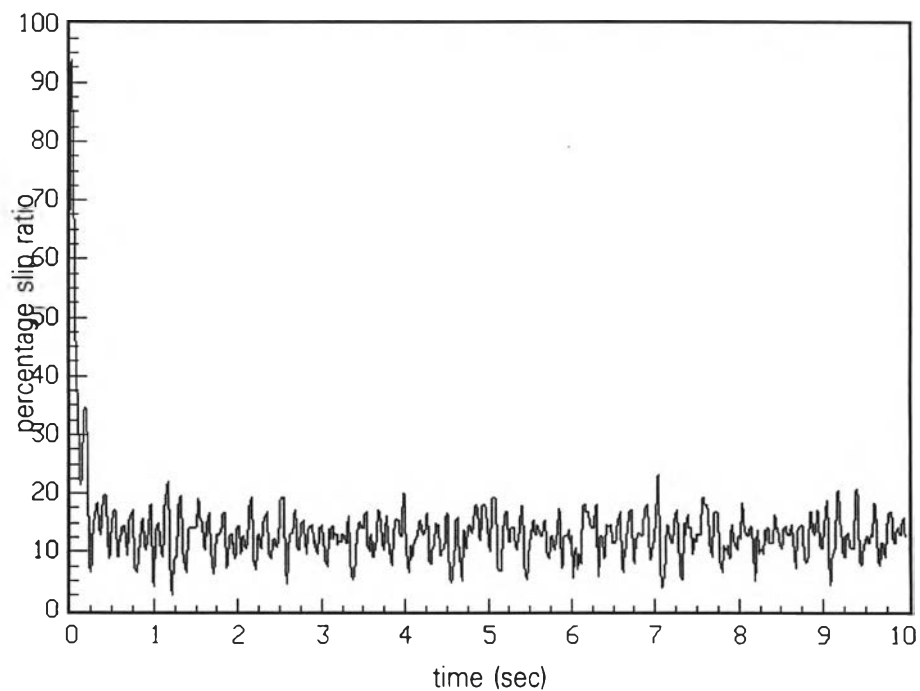
รูปที่ ๓.3 แสดงความเร็วเชิงมุมของล้อที่ถูกควบคุมกับล้ออ้างอิงสัมพันธ์กับเวลา
ทดสอบรับภาระน้ำหนักที่ 550 กิโลกรัม



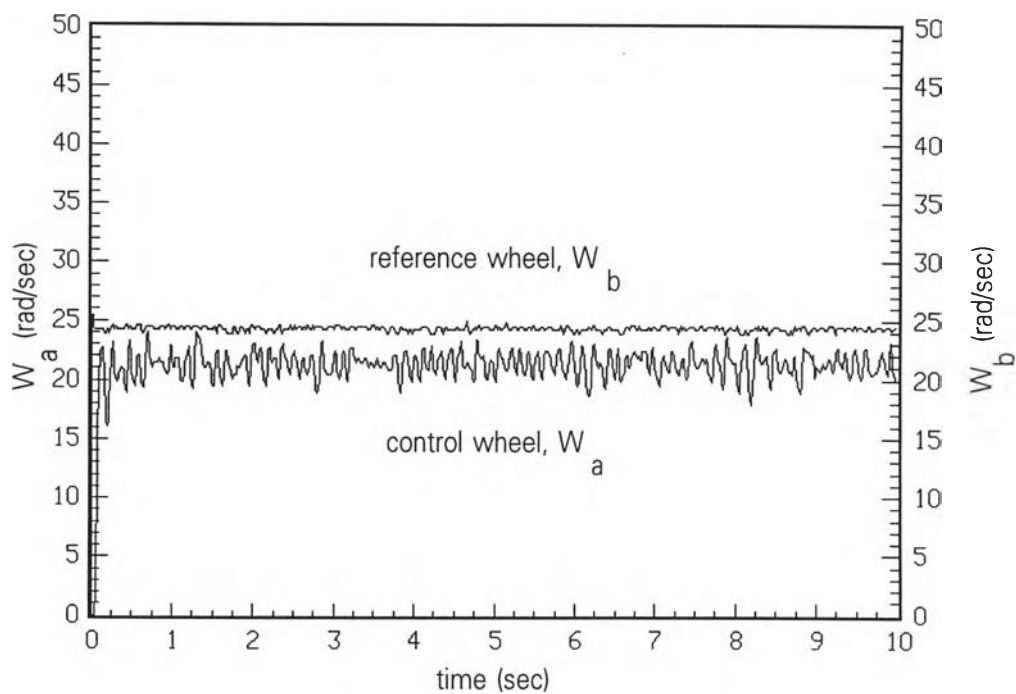
รูปที่ ๓.4 แสดงค่าอัตราสิ้นไถลสัมพันธ์กับเวลา
ทดสอบรับภาระน้ำหนักที่ 550 กิโลกรัม



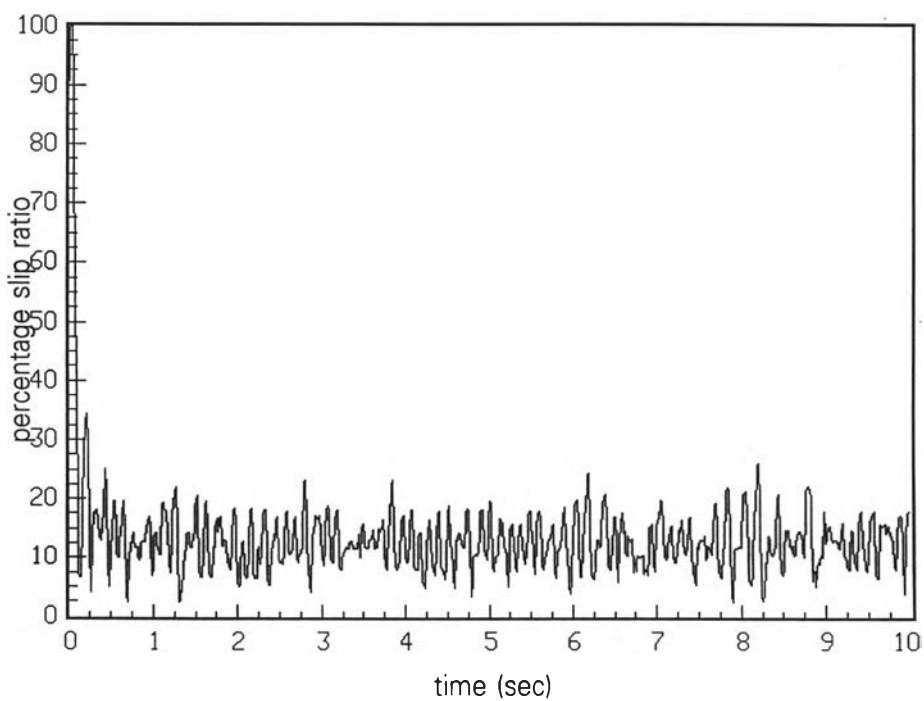
รูปที่ ๕.5 แสดงความเร็วเชิงมุมของล้อที่ถูกควบคุมกับล้ออ้างอิงสัมพันธ์กับเวลา
ทดสอบรับภาระน้ำหนักที่ 500 กิโลกรัม



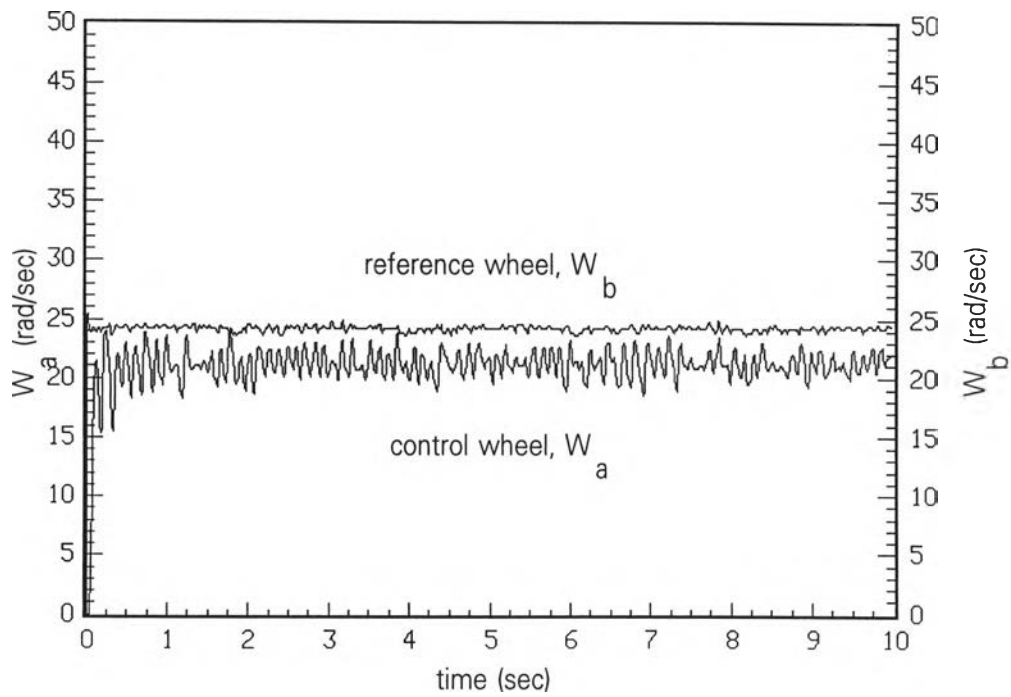
รูปที่ ๕.6 แสดงค่าอัตราลื่นไถลสัมพันธ์กับเวลา
ทดสอบรับภาระน้ำหนักที่ 500 กิโลกรัม



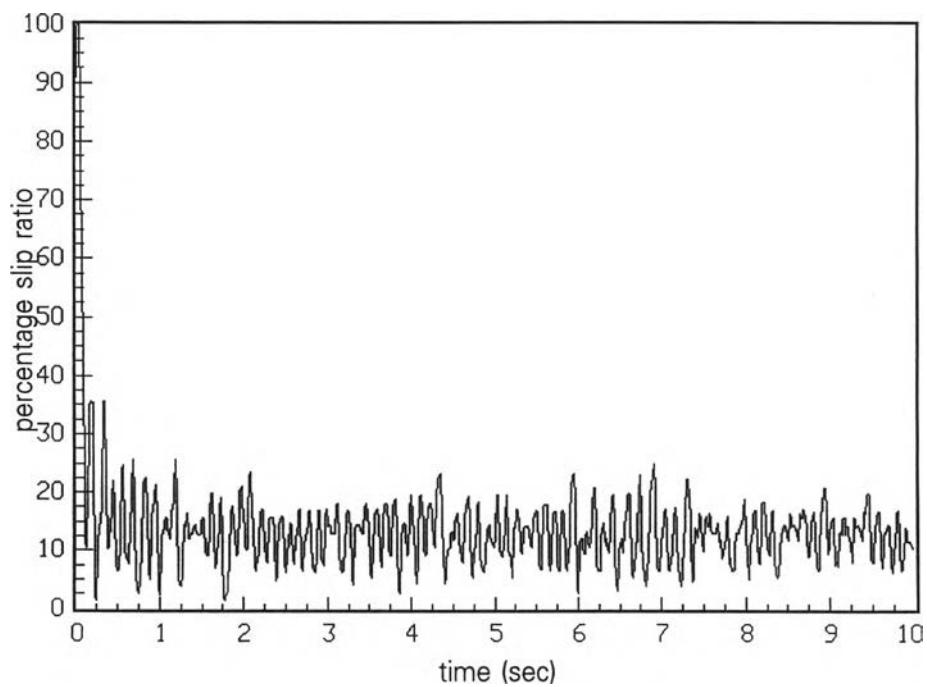
รูปที่ ๗.7 แสดงความเร็วเชิงมุมของล้อที่ถูกควบคุมกับล้ออ้างอิงสัมพันธ์กับเวลา
ทดสอบรับภาระน้ำหนักที่ 450 กิโลกรัม



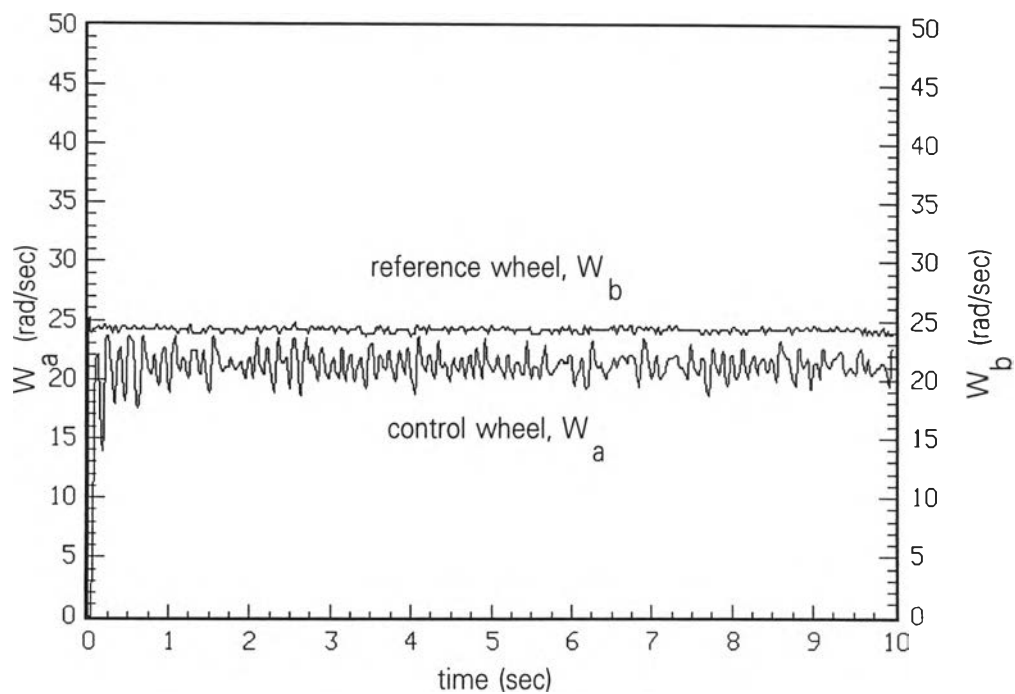
รูปที่ ๗.8 แสดงค่าอัตราลื่นไถลสัมพันธ์กับเวลา
ทดสอบรับภาระน้ำหนักที่ 450 กิโลกรัม



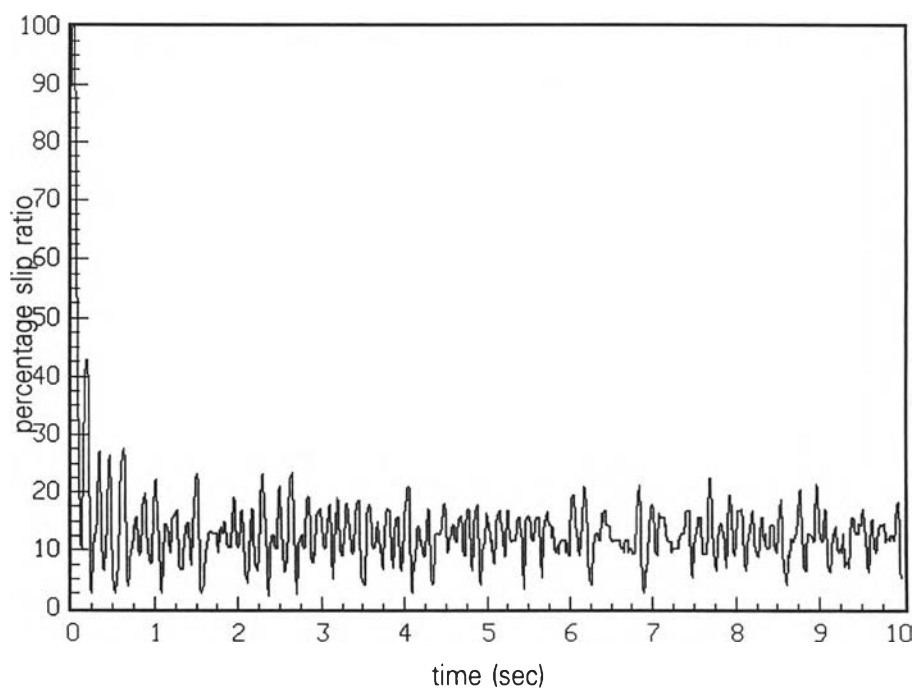
รูปที่ ๙.9 แสดงความเร็วเชิงมุมของล้อที่ถูกควบคุมกับล้ออ้างอิงสัมพันธ์กับเวลา
ทดสอบรับภาระน้ำหนักที่ 400 กิโลกรัม



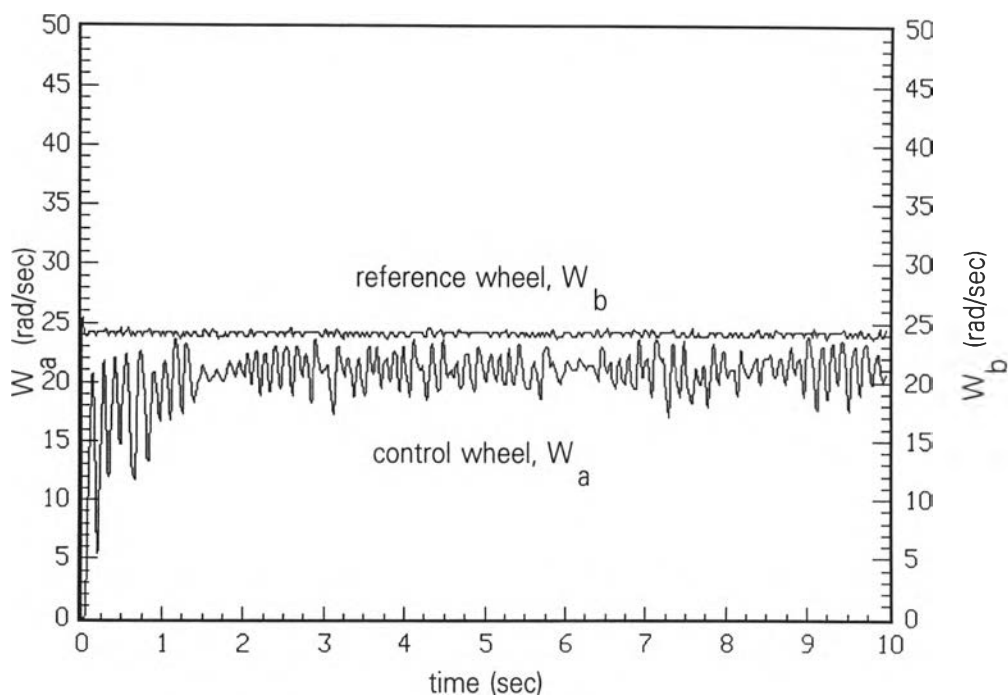
รูปที่ ๙.10 แสดงค่าอัตราลื่นไถลสัมพันธ์กับเวลา
ทดสอบรับภาระน้ำหนักที่ 400 กิโลกรัม



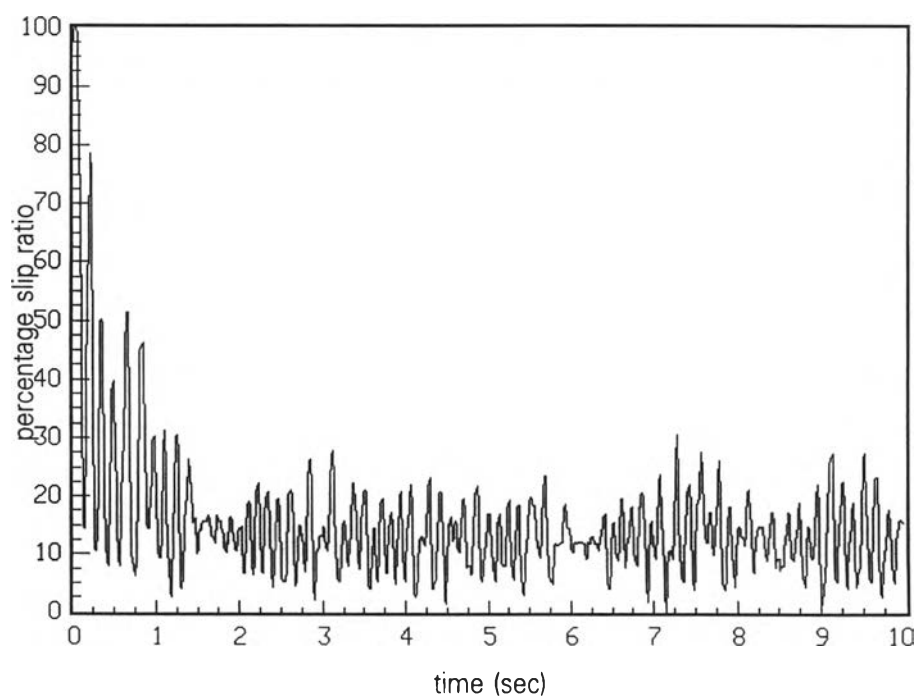
รูปที่ ๑.๑๑ แสดงความเร็วเชิงมุมของล้อที่ถูกควบคุมกับล้ออ้างอิงสัมพันธ์กับเวลา
ทดสอบรับภาระน้ำหนักที่ 350 กิโลกรัม



รูปที่ ๑.๑๒ แสดงค่าอัตราลื่นไถลสัมพันธ์กับเวลา
ทดสอบรับภาระน้ำหนักที่ 350 กิโลกรัม



รูปที่ ๑.13 แสดงความเร็วเชิงมุมของล้อที่ถูกควบคุมกับล้ออ้างอิงสัมพันธ์กับเวลา
ทดสอบรับภาระน้ำหนักที่ 300 กิโลกรัม



รูปที่ ๑.14 แสดงค่าอัตราลื่นไถลสัมพันธ์กับเวลา
ทดสอบรับภาระน้ำหนักที่ 300 กิโลกรัม



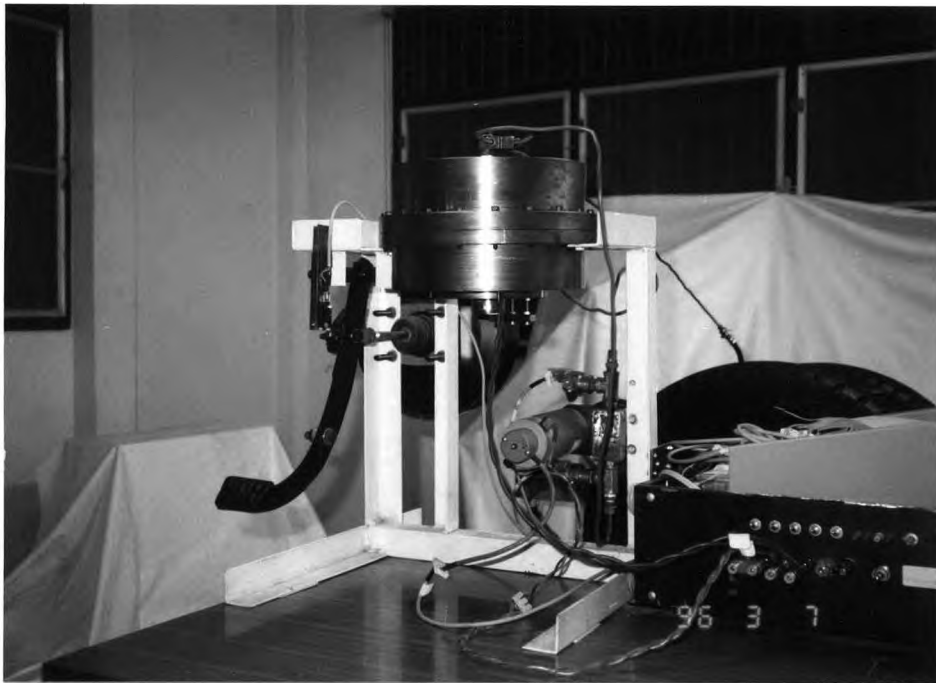
ภาคผนวก ฉ.

รูปภาพส่วนประกอบของอุปกรณ์ต่าง ๆ ในงานวิจัย

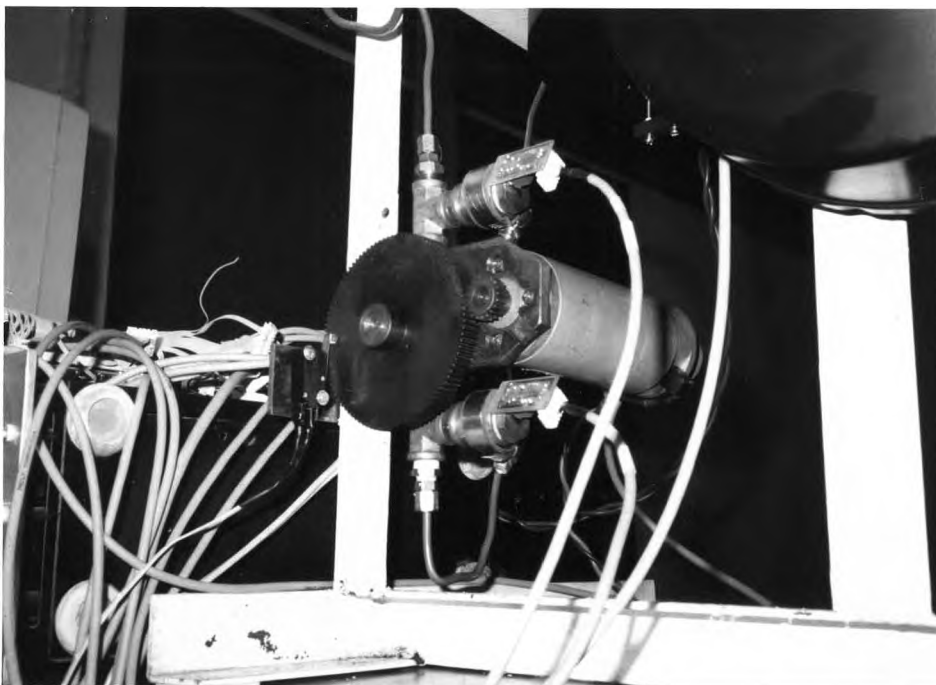
จากในรูปที่ ฉ.1 ถึง ฉ.5 จะแสดงภาพส่วนประกอบของอุปกรณ์ต่าง ๆ ดังนี้



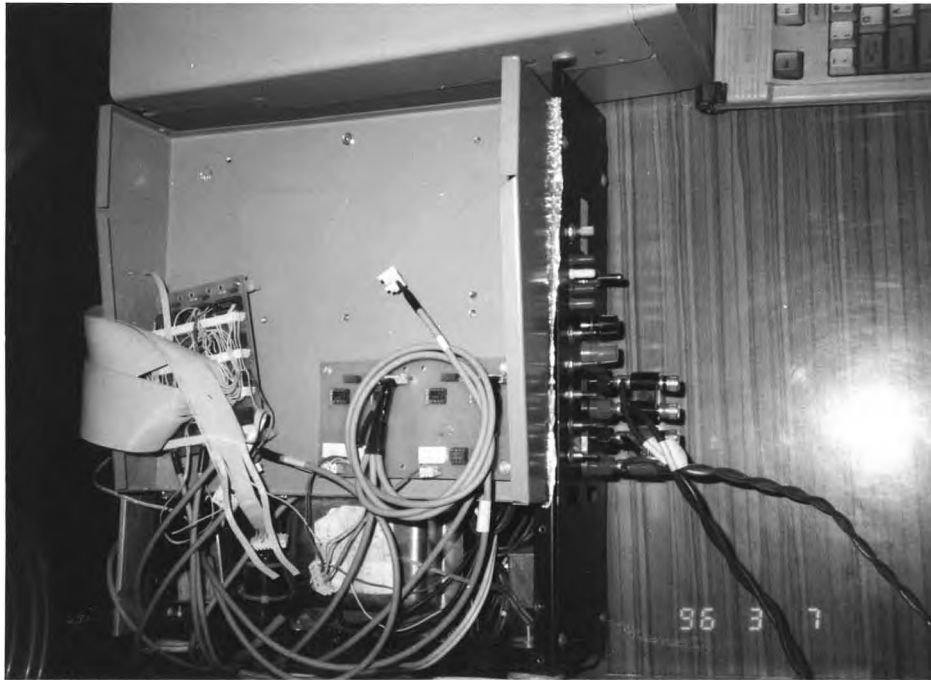
รูปที่ ฉ.1 ชุดแบบจำลอง ABS



รูปที่ ฅ.2 ชุดคั่นเหยียบห้ามล้ล และตัวกระตุ้นแบบไซลินอยด์



รูปที่ ฅ.3 ล้้นเข็มเซอร์โว และทรานสดิวเซอร์ความดัน



รูปที่ ฅ.4 ชุดดีโคเดออร์ , ชุดขยายสัญญาณแบบอินสตรูเมน แอมพลิไฟเออร์
และเพาเวอร์แอมพลิไฟเออร์



รูปที่ ฅ.5 การ์ดอินเตอร์เฟส และคอมพิวเตอร์

ประวัติผู้เขียน



นายสมบุญ ทุนทวีสิน เกิดเมื่อวันที่ 8 กรกฎาคม พ.ศ. 2510 ที่เขตยานนาวา กรุงเทพมหานคร สำเร็จการศึกษาระดับปริญญาตรี วิศวกรรมศาสตรบัณฑิต ภาควิชาวิศวกรรมเครื่องกล คณะวิศวกรรมศาสตร์ จากสถาบันเทคโนโลยีพระจอมเกล้าธนบุรี เมื่อปีการศึกษา 2534 และได้เข้าศึกษาในระดับปริญญาโท ภาควิชาวิศวกรรมเครื่องกล คณะวิศวกรรมศาสตร์ จุฬาลงกรณ์มหาวิทยาลัย เมื่อปีการศึกษา 2534 และได้ทำงานที่

- สถาบันราชมนฑล วิทยาเขต ๙ เทคนิคกรุงเทพ

ตำแหน่งอาจารย์ประจำแผนกช่างยนต์ คณะช่างกล

ตั้งแต่ปี พ.ศ. 2534 ถึง ปีพ.ศ. 2535

- มหาวิทยาลัยสยาม

ตำแหน่งอาจารย์ประจำภาควิชาวิศวกรรมเครื่องกล คณะวิศวกรรมศาสตร์

ตั้งแต่ปี พ.ศ.2535 ถึงปี พ.ศ. 2538.